

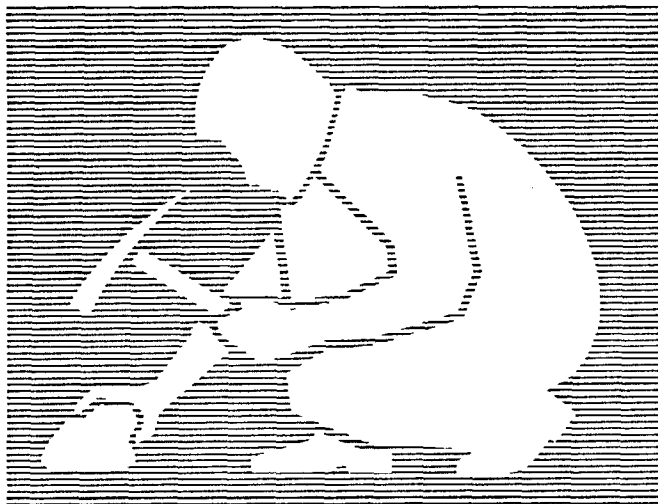
Canada

Québec 

Travaux réalisés dans le cadre de l'entente auxiliaire Canada-Québec sur le développement minéral

Compilation des datations isotopiques des sous-Provinces de l'Abitibi et de quelques unités adjacentes (Québec et Ontario)

Jean Goutier
Mario Melançon
Claude Dion
Pierre Verpaelst
Maurice Rive



Ce document est une reproduction fidèle du manuscrit soumis par l'auteur sauf pour une mise en page sommaire destinée à assurer une qualité convenable de reproduction. Le manuscrit a cependant fait l'objet d'une lecture critique et de commentaires à l'auteur de la part de Sylvain Lacroix avant la remise de la version finale au ministère.

MB 94-55

1994



Gouvernement du Québec
Ministère des Ressources naturelles
Secteur des mines

TABLE DES MATIÈRES

Introduction.....	1
Interprétation sommaire	2
Liste des codes et abréviations lithologiques, texturales et minérales.....	6
Références	33

LISTE DES TABLEAUX

Tableau I: Compilation des datations isotopiques des sous-provinces de l'Abitibi, du Pontiac et de quelques unités adjacentes (Québec et Ontario).....	7
Tableau II: Localisation des datations isotopiques des sous-provinces de l'Abitibi, du Pontiac et de quelques unités adjacentes.....	21
Tableau III: Distribution temporelle du volcanisme, du magmatisme, de la sédimentation et du métamorphisme des sous-provinces de l'Abitibi et du Pontiac	28
Tableau IV: Comparaison des résultats isotopiques de méthodes différentes sur trois gisements aurifères.....	32

LISTE DES FIGURES

Figure 1: Carte de la compilation des datations isotopiques des sous-provinces de l'Abitibi, du Pontiac et de quelques unités adjacentes (Québec et Ontario).....hors texte	
Figure 2: Distribution temporelle du volcanisme, du magmatisme, de la sédimentation et du métamorphisme des sous-provinces de l'Abitibi et du Pontiac	5

INTRODUCTION

Ce travail présente une compilation exhaustive des datations isotopiques des sous-provinces de l'Abitibi, du Pontiac, de Temagami et de l'Opatica du Québec et de l'Ontario, incluant aussi quelques datations de la province du Grenville. Il se compose principalement de tableaux comprenant les datations, la lithologie échantillonnée, la référence où a été tirée la datation et d'une carte de localisation hors texte. Le premier tableau est très détaillé et exhaustif, le deuxième tableau fournit la localisation en degrés et en UTM des sites et le troisième tableau présente une synthèse des âges de mise en place du volcanisme, du magmatisme, de la sédimentation et du métamorphisme des sous-provinces de l'Abitibi et du Pontiac. L'intérêt de cette compilation est de permettre des corrélations régionales, de faire ressortir les secteurs bien datés et de contraindre une bonne partie de l'évolution géologique des sous-provinces de l'Abitibi et du Pontiac.

La compilation comprend plus de 300 datations U-Pb, Pb/Pb, Ar/Ar, Rb-Sr, Sm-Nd, Re-Os et K-Ar, sans discrimination des méthodes, de leur précision et de l'interprétation qu'en font les auteurs. Nous avons spécifié les variétés des méthodes dans une colonne adjacente (tableau I). L'abréviation "*diss.*" correspond à la technique de dissolution utilisée avant les analyses des isotopes au spectromètre de masse, tandis que les abréviations "*SHRIMP*" et "*évac.*" représentent une nouvelle technique utilisant le laser pour libérer les isotopes pour l'analyse au spectromètre de masse. Dans le cas de la méthode Ar/Ar, l'abréviation "*chauf.*" correspond à la technique de base consistant à chauffer les minéraux pour libérer les isotopes d'argon, alors que l'abréviation "*laser*" représente une nouvelle technique de chauffage. Les abréviations lithologiques utilisées dans le tableau I sont les mêmes que celles de la légende générale de la carte lithologique utilisées par le ministère (MB 87-11, version 1992). Les abréviations des textures sont placées entre crochets [], tandis que les minéraux sont représentés par deux lettres majuscules.

Cette compilation n'est pas limitée aux datations des火山岩, des sédiments et des plutons, mais à toutes celles qui peuvent servir à définir l'histoire et l'évolution des roches, de la minéralisation et du métamorphisme de cette région. Les datations ont été tirées telles quelles d'articles scientifiques, de thèses universitaires et de rapports inédits, sans aucun recalcul. La lecture des références sources est donc importante pour apprécier le contexte géologique régionale et la signification de l'âge obtenu. En particulier, dans les cas des datations dans les sous-provinces de l'Opatica et du Pontiac, l'interprétation des analyses U-Pb n'est pas simple à cause des générations complexes de zircons et des taux de refroidissement plus lents.

Les datations effectuées sur les roches de l'Ontario ont aussi été incorporées pour permettre des corrélations régionales et pour faire ressortir une vision d'ensemble. C'est pourquoi nous avons choisi de localiser les données sur une carte à l'échelle de 1: 500 000 (figure 1, hors texte), correspondant en grande partie aux limites de la carte du MER-OGS (DV 83-16) et couvrant l'ensemble de la sous-province de l'Abitibi. La superposition des deux cartes permet la correspondance des datations avec la géologie régionale. Sur la carte, on retrouve la localisation des sites échantillonnés avec un symbole particulier pour exprimer la méthode d'analyse utilisée. Nous y avons inscrit les âges les plus pertinents correspondant par exemple aux âges les plus récents ou les plus précis. Une localisation précise est identifiée par un petit symbole. Dans plusieurs cas, des auteurs nous ont donné des localisations plus précises que celles présentées dans leurs articles et nous avons amélioré la localisation de certaines datations en les numérisant à l'aide de cartes plus précises que celle au 1: 500 000. Un symbole large signifie une localisation imprécise tirée à partir d'une carte à l'échelle plus petite que 1: 500 000 ou, par exemple, l'absence de figure de localisation dans un résumé de conférence. Le fuseau de référence UTM 17 (NAD 27) a été utilisé pour placer toutes les datations et celles situées à l'intérieur du fuseau UTM 18 (à l'est du 78° de longitude) ont été converties de façon mathématique (tableau II).

La liste des références contient plus que les articles cités dans cette compilation. Nous y avons ajouté de nombreuses références connexes, de résumés et d'articles préliminaires.

INTERPRÉTATION SOMMAIRE

Au cours des dix dernières années, les datations isotopiques ont permis une réinterprétation majeure de la géologie de la sous-province de l'Abitibi. Chown *et al.* (1992) et Corfu (1993) utilisent les récentes datations pour faire ressortir les corrélations régionales et pour définir l'évolution tectonique de la sous-province de l'Abitibi respectivement au Québec et en Ontario. Le tableau III et la figure 2 font ressortir la distribution temporelle du volcanisme, du magmatisme, de la sédimentation et du métamorphisme des deux sous-provinces en utilisant les données les plus précises et les plus récentes des méthodes U-Pb et Pb/Pb sur les zircons, baddeleyites et rutiles. Ainsi le volcanisme calco-alcalin, tholéïtique et ultramafique est plus ou moins continu en Abitibi. Il s'étend de 2759 à 2698 Ma (tableau III). Il est suivi d'un épisode de volcanisme alcalin se situant entre 2679 Ma et 2677 Ma (Corfu *et al.*, 1991). Les volcanites les plus jeunes sont situées au centre d'une bande E-O (région de Kirkland Lake - Val-d'Or) et l'âge augmente vers le nord, vers l'ouest et vers le sud (en Ontario). Les datations des roches encaissantes des gisements de sulfures massifs volcanogènes montrent qu'il y a plusieurs épisodes de formation entre 2730 et 2698 Ma.

Les datations mettent en évidence des corrélations trop larges de roches similaires qui ont été regroupées sous le même nom mais présentant des écarts temporels importants dans l'évolution du volcanisme de l'Abitibi. On devra probablement subdiviser ces groupes car il est possible que ce soit plusieurs ensembles distincts plutôt que les mêmes unités. Par exemple, des volcanites de 2701 Ma et de 2718 Ma (11: Corfu & Noble, 1992; 139: Zhang *et al.*, 1993), situées de part et d'autre de la faille de Porcupine-Destor, font parties du même Groupe de Kinojévis, alors qu'elles devraient peut-être être séparées en deux unités distinctes. De même, des volcanites de 2713 Ma et de 2730 Ma (4: Corfu *et al.*, 1989; 87: Mortensen, 1993b) sont incluses dans le même Groupe de Hunter. Le Groupe de Stoughton-Roquemaure (GSR) en est un autre exemple. Au nord de la faille de Porcupine-Destor (FPD) au Québec, le GSR est confiné stratigraphiquement entre les volcanites de 2730 Ma (87: Mortensen, 1993b) du Groupe de Hunter et les volcanites de 2718 Ma (139: Zhang *et al.*, 1993) du Groupe de Kinojévis, alors qu'au sud de la branche nord de la FPD en Ontario, la base du GSR a été daté à 2714 Ma (109: Corfu *et al.*, 1989) et le sommet a été daté à 2706 Ma (10: Corfu & Noble, 1992). Aussi, le Groupe de Stoughton-Roquemaure au Québec, au nord de la FPD, pourrait être un équivalent stratigraphique du Groupe Wawbewawa-Catharine, une séquence tholéïitique à 2720 Ma (9: Corfu & Noble, 1992) comprenant les komatiites de Boston Creek, située au sud de la faille de Larder Lake-Cadillac. Il est intéressant de noter que des rhyolites voisines de komatiites dans le Groupe de Kinojévis (canton de Destor) ont donné un âge de 2718 Ma (139: Zhang *et al.*, 1993) similaire à celui de 2717 Ma (225: Barrie & Davis, 1990) des rhyolites du gisement de Kidd Creek.

Dans la sous-province du Pontiac, les datations de 2682, 2686 et 2690 Ma des volcanites d'Angliers-Belleterre font ressortir un volcanisme felsique plus jeune (294: Mortensen & Card, 1993; 132: Machado *et al.*, 1991a; 295: Mortensen & Card, 1993). Il est possible qu'il existe aussi un volcanisme mafique plus ancien, car les roches sont similaires à celles de l'Abitibi et sont recoupées par des intrusions plus vieilles (2694 Ma: 131: Machado *et al.*, 1991a et 2705 Ma: 130: Machado *et al.*, 1991a) que les volcanites felsiques.

La distribution des âges des intrusions en Abitibi est plus grande que celles des volcanites et elle s'explique par le fait qu'il existe des intrusions synvolcaniques, syntectoniques et post tectoniques. Sur la figure 2 et dans le tableau III, nous avons extrait les porphyres des intrusions pour mettre en relief une prédominance d'âge entre 2694 et 2685 Ma. Ces intrusions sont associées aux gisements aurifères de la région de Timmins et de Val-d'Or. Dans le Pontiac, dans l'ensemble les intrusions sont plus jeunes que celles de l'Abitibi.

Pour l'instant, le nombre de datations des sédiments est relativement limité. La plupart des échantillons proviennent des unités bordant la bande volcanique "jeune" (Kirkland Lake - Val-d'Or). Comme le souligne Davis (1992), les Groupes de Kewagama, de Cadillac et de Pontiac sont probablement contemporains et se sont formés entre 2686 Ma (ou < 2683 Ma, tableau I: 297) et 2682 Ma (recoupé par la syénite de Cléricey). Pour sa part, le Groupe de Timiskaming est plus jeune puisqu'il contient des zircons datés à 2679 Ma et qu'il est recoupé par un dyke daté à 2677 Ma (tableau I: 250).

La datation des roches métamorphiques de l'Abitibi et du Pontiac montre que l'histoire du métamorphisme est complexe et ne correspond pas à un épisode unique. Il existe des gneiss datés à 2711 Ma, 2695 Ma, 2660 Ma et 2637-2651 Ma. Plusieurs de ces roches sont aussi des intrusions formées en grande profondeur. Les âges obtenus des minéraux métamorphiques montrent aussi plusieurs épisodes de formation. Sur l'ensemble des deux sous-provinces, l'âge de la déformation n'est pas un épisode unique puisqu'il y a des gneiss à 2711 Ma et des intrusions syntectoniques déformées à 2703-2690 Ma, à 2677 Ma et à 2665 Ma. De plus, le métamorphisme grenvillien (~ 900-1000 Ma) affecte en partie les roches archéennes.

Les datations n'ont pas résolus le problème de l'âge de la formation des gisements aurifères. En effet, les chercheurs ont utilisé différentes méthodes et ont obtenu des résultats différents (Kerrich & King, 1993). Il est de plus en plus évident qu'il y ait eu plusieurs épisodes de minéralisation (Morasse *et al.*, 1993; Pilote *et al.*, 1993), tout comme pour le métamorphisme et la déformation. Certains chercheurs ont utilisé la méthode Ar/Ar pour dater les gisements d'or archéens alors que d'autres ont récemment démontré que ces résultats pouvaient refléter des périodes de refroidissement qui suivaient la minéralisation aurifère (tableau IV).

Les sous-provinces de l'Abitibi et du Pontiac sont recoupées par cinq réseaux de dykes protérozoïques d'orientations et d'âges différents. Le réseau NNO de dykes de Matachewan a été daté à 2452 Ma (dans Buchan *et al.*, 1994). Quatre datations ont fourni un âge situé entre 2210 Ma et 2219 Ma pour le réseau NNE, dit de Nipissing ou de Senneterre. Ce réseau est important car il est associé aux gisements d'argent et de cobalt de la région de Cobalt-Gowganda en Ontario. Les réseaux NE, de Biscotasing et de l'Abitibi, ont respectivement été datés à 2167 Ma et à 2150 Ma. Les dykes plus récentes comprennent le réseau ENE des grands dykes de l'Abitibi daté à 1141 Ma et les intrusions ultramafiques alcalines de Le Tac datées à 1100 Ma et l'une à l'est de Senneterre, daté à 1025 Ma.

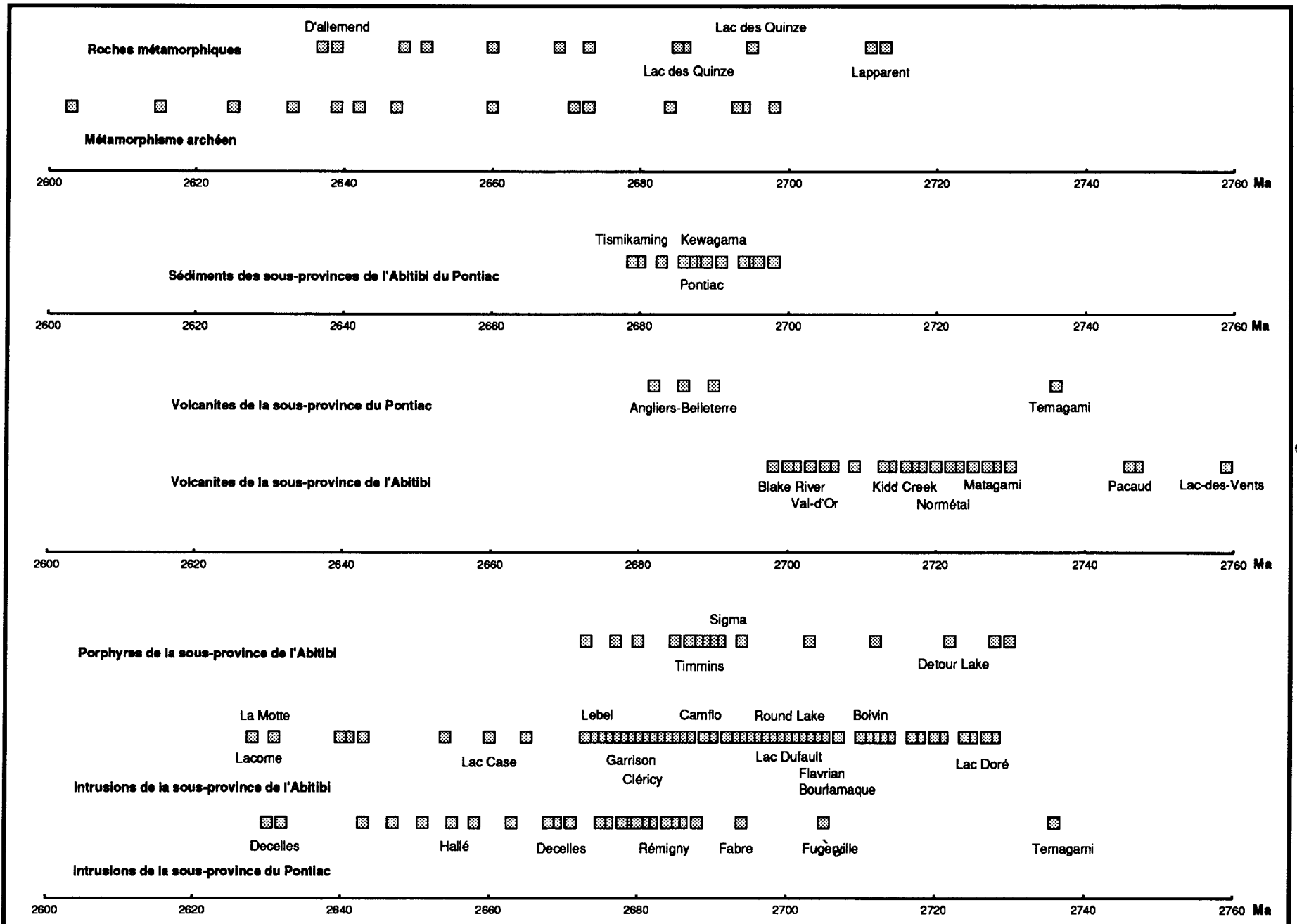


Figure 2: Distribution temporelle du volcanisme, du magmatisme, de la sédimentation et du métamorphisme des sous-provinces de l'Abitibi et du Pontiac.

Liste des codes et abréviations lithologiques, texturales et minérales

Lithologies		Textures		Minéraux
I1	intrusion felsique	(charnock.)	charnockitique	AB albite
I1B	granite	[BR]	bréchique	AG augite
I1C	granodiorite	[CS]	cisallé	Au or
I1D	tonalite	[PG]	pegmatitique	BO biotite
I1E	trondhjemite	[PO]	porphyrique	CL chlorite
I1H	granophyre	[PP]	porphyre	FP feldspath
I2	intrusion intermédiaire	[SP]	sphérolitique	GR grenat
I2C	syénite quartzifère			HB hornblende
I2D	syénite	alt.	altération	MV muscovite
I2E	monzonite quartzifère			Ni nickel
I2F	monzonite			QZ quartz
I2G	monzodiorite quartzifère			SR séricite
I2H	monzodiorite			TL tourmaline
I2I	diorite quartzifère			
I2J	diorite			min. minéralisation
I3A	gabbro			feldspath K feldspath potassique
I3B	diabase			
I3I	gabbro anorthositique			
I3O	lamprophyre			
I4	intrusion ultramafique			
I4B	pyroxénite			
I4I	péridotite			
I4Q	carbonatite			
M1	gneiss			
M3	orthogneiss			
M4	paragneiss			
M8	schiste			
M10	paraschiste			
M16	amphibolite			
M22	migmatite			
S1	grès			
S1E	grès lithique			
S4D	conglomérat polygénique			
S11	exhalite			
V1	volcanite felsique			
V1[TL]	tuf à lapilli felsique			
V1[TU]	tuf felsique			
V1B	rhyolite			
V1D	dacite			
V1D[TU]	tuf dacitique			
V2	volcanite intermédiaire			
V2[TU]	tuf intermédiaire			
V3B	basalte			
V4A	komatiite			

Tableau I: Compilation des datations isotopiques des sous-provinces de l'Abitibi, du Pontiac et de quelques unités adjacentes (Québec et Ontario).

Goutier, J., Melançon, M., Dion, C., Verpaelst, P. et Rive, M. (1994)

No.	Prov.	No d'échantillon	Groupe ou Formation	Lithologie	Âge (Me)	Préc.	Méthode	Minéraux et remarques	Références
1	Qué.		Granitoïdes du Blake River	I1C	2755		U-Pb	diss.	zircons, début de la méthode
1	Qué.		Granitoïdes du Blake River	I1C	2709		U-Pb	diss.	Recalculé de Krogh & Davis, 1971
1	Qué.		Pluton du lac Dufault	I1C	2701		Pb/Pb	diss.	âge minimum recalculé, Krogh c. pers., 1979
2	Qué	2-76	Pluton du lac Dufault	I1C	2698 ± 2		U-Pb	diss.	zircons, avec la technique d'abrasion
3	Qué.	70-32	Pluton de Chibougamau	I1D	2780		U-Pb	diss.	zircons, début de la méthode
3	Qué.	70-32	Pluton de Chibougamau	I1D	2739		U-Pb	diss.	Recalculé de Krogh & Davis, 1971
3	Qué.	70-32	Pluton de Chibougamau	I1D	2742 ± 6		U-Pb	diss.	zircons, analyses préliminaires
3	Qué.	70-32	Pluton de Chibougamau	I1D	2718 ± 2		U-Pb	diss.	zircons, avec la technique d'abrasion
4	Ont.	N76-3	Hunter Mine	V1D[TU]	2710		U-Pb	diss.	zircons
4	Ont.	N76-3	Hunter Mine	V1D[TU]	2710 ± 2		Pb/Pb	diss.	zircons
4	Ont.	HM (N76-3)	Hunter Mine	V1D[TU]	2713 ± 2		U-Pb	diss.	zircons, âge raffiné
5	Ont.	N76-17	Blake River	I1[PP]QZ,FP	2703 ± 2		U-Pb	diss.	zircons
6	Ont.	N77-12	Blake River	V1B[PO]QZ,FP	2703 ± 2		U-Pb	diss.	zircons
6	Ont.	BR (N77-12)	Blake River	V1B[PO]QZ,FP	2701 ± 2		U-Pb	diss.	zircons, âge raffiné
7	Ont.	CL (N77-13)	Blake River - Clarice Lake	I2I	2689 ± 1		U-Pb	diss.	zircons
8	Ont.	DU2 (C-88-17)	Upper Deloro-Eldorada	V1B	2725 ± 1		U-Pb	diss.	zircons
9	Ont.	BC (N-87-5)	Wabewawa-Catharine	V3B	2720 ± 2		U-Pb	diss.	zircons
10	Ont.	MH (N-76-4)	Marker Horizon	V2[TU]	2706 ± 2		U-Pb	diss.	zircons
11	Ont.	KJ (C-88-8)	Kinojévis	V1B	2701 ± 3		U-Pb	diss.	zircons
12	Qué.		Dolodau	I4Q	2640 ± 130		Rb-Sr	diss.	
13	Qué.		Pluton de Chibougamau	I1E	2520 ± 180		Rb-Sr	diss.	Jones et al., 1974, nombreux éch.
14	Qué.		Pluton de Chibougamau	I1E	2590 ± 190		Rb-Sr	diss.	données totales, nombreux éch.
14	Qué.		Pluton de Chibougamau	I1E	2720 ± 100		Rb-Sr	diss.	filtré avec les éléments majeurs
14	Qué.		Pluton de Chibougamau	I1E	2730 ± 100		Rb-Sr	diss.	filtré avec la pétro, les volatiles et la chimie
15	Qué.		Gisement de Coniagas		2696		Pb/Pb	diss.	sulfures
16	Qué.		Gisement de Coniagas		2702		Pb/Pb	diss.	sulfures
17	Qué.		Mine Lemoine		2680		Pb/Pb	diss.	sulfures
18	Qué.		Indice du lac Taché (Berrigan)		2723		Pb/Pb	diss.	sulfures
19	Qué.		Mine Opemiska zone 8-5		2722		Pb/Pb	diss.	sulfures
20	Qué.		Mine Opemiska		2672		Pb/Pb	diss.	sulfures
21	Qué.		Mine Norbeau		2680		Pb/Pb	diss.	sulfures
22	Qué.		Mine du lac Shortt		2708		Pb/Pb	diss.	sulfures
23	Qué.		Mine du lac Shortt		2585		Pb/Pb	diss.	sulfures
24	Qué.		Mine du lac Bachelor		2676		Pb/Pb	diss.	sulfures
25	Qué.		Mine du lac Bachelor		2247		Pb/Pb	diss.	sulfures
26	Qué.		Mine du lac Bachelor		2505		Pb/Pb	diss.	sulfures
27	Qué.		Mine Chibex		1033		Pb/Pb	diss.	sulfures
28	Qué.		Mine Chibex		904		Pb/Pb	diss.	sulfures

29	Qué.	2 km WNW Radar		1937	Pb/Pb	diss.	sulfures	Thorpe et al., 1984	
30	Qué.	Indice Ceres		2672	Pb/Pb	diss.	sulfures	Thorpe et al., 1984	
31	Qué.	Opemiska (mine Springer)		2681	Pb/Pb	diss.	sulfures	Thorpe et al., 1984	
32	Qué.	Opemiska (mine Springer)		2678	Pb/Pb	diss.	sulfures	Thorpe et al., 1984	
33	Qué.	Opemiska (mine Springer)		2691	Pb/Pb	diss.	sulfures	Thorpe et al., 1984	
34	Qué.	Opemiska (mine Springer)		2660	Pb/Pb	diss.	sulfures	Thorpe et al., 1984	
35	Qué.	Mine Opemiska		2680	Pb/Pb	diss.	sulfures	Thorpe et al., 1984	
36	Qué.	Opemiska (mine Springer)		2013	Pb/Pb	diss.	sulfures	Thorpe et al., 1984	
37	Qué.	Mine Henderson		2072	Pb/Pb	diss.	sulfures	Thorpe et al., 1984	
38	Qué.	Mine Henderson		2009	Pb/Pb	diss.	sulfures	Thorpe et al., 1984	
39	Qué.	Indice Canray, canton de Scott		104	Pb/Pb	diss.	sulfures	Thorpe et al., 1984	
40	Qué.	Indice Canray, canton de Scott		2488	Pb/Pb	diss.	sulfures	Thorpe et al., 1984	
41	Qué.	1,5 km SE de la mine Cooke		2067	Pb/Pb	diss.	sulfures	Thorpe et al., 1984	
42	Qué.	1,5 km SE de la mine Cooke		2027	Pb/Pb	diss.	sulfures	Thorpe et al., 1984	
43	Qué.	OP-1	Opemiska	I1	2692 ± 30	Ar/Ar	chauf.	hornblendes	Dallmeyer et al., 1975
44	Qué.	OP-3	Opemiska	I1	2656 ± 30	Ar/Ar	chauf.	hornblendes	Dallmeyer et al., 1975
45	Qué.	LR-2	Lac La Ronde	I1	2650 ± 30	Ar/Ar	chauf.	hornblendes	Dallmeyer et al., 1975
46	Qué.	LR-3	Lac La Ronde	I1	2623 ± 30	Ar/Ar	chauf.	hornblendes	Dallmeyer et al., 1975
47	Qué.	RN3 (GSC 59-73)	Preissac-Lacorne	I1C,HB,BO	2695 +65/-25	U-Pb	diss.	zircons, anciennes constantes	Steiger & Wasserburg, 1969
47	Qué.	RN3 (GSC 59-73)	Preissac-Lacorne	I1C,HB,BO				localisation GSC 59-73: Snelling (1962)	Steiger & Wasserburg, 1969
48	Qué.	PR-2	Preissac	I1B	2697 ± 40	Pb/Pb	diss.	feldspath K	Gariépy & Allègre, 1985
49	Qué.	GC-26	Opemiska	I1C	2695 ± 8	Pb/Pb	diss.	plusieurs minéraux	Gariépy & Allègre, 1985
50	Qué.	GC-26	Opemiska	I1C	2699 ± 45	U-Pb	diss.	titanite	Gariépy & Allègre, 1985
51	Qué.	GC-114	Renault	I1C	2718 ± 12	Pb/Pb	diss.	plusieurs minéraux	Gariépy & Allègre, 1985
52	Qué.	GC-10	Barlow	I2E	2697 ± 3	Pb/Pb	diss.	feldspath K	Gariépy & Allègre, 1985
53	Qué.	LD-9	Dufault	I1C	2706 ± 86	Pb/Pb	diss.	plusieurs minéraux	Gariépy & Allègre, 1985
54	Qué.	GC-122	Waswanipi	I1C	2616 ± 19	Pb/Pb	diss.	feldspath K	Gariépy & Allègre, 1985
55	Qué.	GC-122	Waswanipi	I1C	2628 ± 25	Pb/Pb	diss.	titanite	Gariépy & Allègre, 1985
56	Qué.	FC-2-76	Opemiska	I2F,QZ,HB	2697 ± 2	U-Pb	diss.	zircons	Frahey & Krogh, 1986
57	Qué.	FC-3-76	Franquet	I1E	2692 ± 3	U-Pb	diss.	zircons	Frahey & Krogh, 1986
58	Qué.	FC-6-76	Taschereau	I1E	2718 ± 2	U-Pb	diss.	zircons	Frahey & Krogh, 1986
59	Ont.	FC-12-75	Garrison	I1C	2679 ± 4	U-Pb	diss.	zircons	Frahey & Krogh, 1986
60	Ont.	FC-7-75	Winnie Lake	I1B	2677 ± 2	U-Pb	diss.	zircons	Frahey & Krogh, 1986
61	Ont.	FC-5-75	Watabeag 1	I1E	2681 ± 3	U-Pb	diss.	zircons	Frahey & Krogh, 1986
62	Ont.	FC-9-75	Watabeag 2	I1E	2676 ± 2	U-Pb	diss.	zircons	Frahey & Krogh, 1986
63	Ont.	FC-3-75	Watabeag 3	I2I	2699 ± 3	U-Pb	diss.	zircons	Frahey & Krogh, 1986
64	Ont.	FC-10-75	Adams Stock	I1C	2686 ± 3	U-Pb	diss.	zircons	Frahey & Krogh, 1986
65	Qué.	1 (WFL-1)	Waconichi	V1B,QZ,FP	2730 ± 2	U-Pb	diss.	zircons	Mortensen, 1993a
66	Qué.	2 (WQFP-1)	Waconichi	I1 PP QZ,FP	2728 ± 1	U-Pb	diss.	zircons	Mortensen, 1993a
67	Qué.	3 (WOR-1)	Waconichi	V1B,QZ	indéterminé	U-Pb	diss.	zircons, distribution hétérogène	Mortensen, 1993a
68	Qué.	4 (OBF-2)	Lac des Vents	V1B,FP	2757-2788	Pb/Pb	diss.	zircons	Mortensen, 1993a
68	Qué.	4 (OBF-2)	Lac des Vents	V1B,FP	2766	Pb/Pb	diss.	analyse sur un zircon	Mortensen, 1993a
68	Qué.	4 (OBF-2)	Lac des Vents	V1B,FP	2770	Pb/Pb	diss.	analyse sur un zircon	Mortensen, 1993a

68	Qué.	4 (OBF-2)	Lac des Vents	V1B,FP	2759 ± 2	Pb/Pb	diss.	zircons	Mortensen, 1993a
69	Qué.	5 (OBF-1)	Lac des Vents	I1[PP]QZ,FP	2802-2805	Pb/Pb	diss.	zircons, un bloc dans une brèche volc.	Mortensen, 1993a
69	Qué.	5 (OBF-1)	Lac des Vents	I1[PP]QZ,FP	2762-2791	Pb/Pb	diss.	zircons, un bloc dans une brèche volc.	Mortensen, 1993a
70	Qué.	7 (DLGR-1)	Complexe du Lac Doré	I1H	2728 ± 1	U-Pb	diss.	zircons	Mortensen, 1993a
71	Qué.	8 (DLP3-1)	Complexe du Lac Doré P3	I4B,QZ	2727 ± 1	Pb/Pb	diss.	zircons	Mortensen, 1993a
72	Qué.	9 (LDP-1)	Lac La Dauversière	I1D	2720 ± 3/-1	U-Pb	diss.	zircons	Mortensen, 1993a
72	Qué.	9 (LDP-1)	Lac La Dauversière	I1D	2720 ± 1	Pb/Pb	diss.	zircons	Mortensen, 1993a
73	Qué.	10 (LWNR-1)	Dyke dans la Fm. Gilman	I1[PP]QZ,FP	2712 ± 9/-7	U-Pb	diss.	zircons	Mortensen, 1993a
74	Qué.	11 (BBS-1)	Filon-couche de Bourbeau	I3A	2717 ± 1	U-Pb	diss.	zircons	Mortensen, 1993a
75	Qué.	12 (RP-1)	Renaud	I1D	2700 ± 2	U-Pb	diss.	zircons	Mortensen, 1993a
76	Qué.	13 (MP-1)	Muscocho	I1C	2701 ± 2	U-Pb	diss.	zircons	Mortensen, 1993a
77	Qué.	14 (LWR-1)	Lac Watson	V1B[SP]QZ	2725 ± 2	Pb/Pb	diss.	zircons	Mortensen, 1993a
78	Qué.	15 (GLR-1)	Dumagami	V1B[SP]	2723 ± 1	Pb/Pb	diss.	zircons	Mortensen, 1993a
79	Qué.	16 (BCR-1)	Bell	V1B,QZ	2720 ± 1	Pb/Pb	diss.	zircons, âge minimum	Mortensen, 1993a
80	Qué.	17 (JFX-1)	Joutel	V1B[BR]	2730 ± 5/-2	U-Pb	diss.	zircons	Mortensen, 1993a
80	Qué.	17 (JFX-1)	Joutel	V1B[BR]	2728 ± 2	Pb/Pb	diss.	zircons, meilleure estimation	Mortensen, 1993a
81	Qué.	18 (BRG-1)	Bell	I1H	2725 ± 2	U-Pb	diss.	zircons	Mortensen, 1993a
81	Qué.	18 (BRG-1)	Bell	I1H	2721 ± 2	Pb/Pb	diss.	titanites, âge minimum	Mortensen, 1993a
82	Qué.	19 (RQD-1)	Mine Radiore	I2I	2721 ± 9/-5	U-Pb	diss.	baddeleyites	Mortensen, 1993a
82	Qué.	19 (RQD-1)	Mine Radiore	I2I	2720 ± 1	Pb/Pb	diss.	zircons, âge minimum	Mortensen, 1993a
83	Qué.	20 (LOG-1)	Lac Olga	I1C	2693 ± 2	Pb/Pb	diss.	zircons	Mortensen, 1993a
83	Qué.	20 (LOG-1)	Lac Olga	I1C	2701	Pb/Pb	diss.	zircons	Mortensen, 1993a
84	Qué.	21 (FP-2)	Dyke recoupant Gr. Wabassee	I1[PP]QZ	2703 ± 4	U-Pb	diss.	zircons, âge maximum	Mortensen, 1993a
85	Ont.	1 (PTF-1)	Pacaud	V1[TU]	2746 ± 1	Pb/Pb	diss.	zircons	Mortensen, 1993b
85	Ont.	1 (PTF-1)	Pacaud	V1[TU]	2747 ± 1	Pb/Pb	diss.	zircons	Mortensen, 1993b
86	Qué.	2 (NMR-1)	Normétal	V1B[PO]QZ	2728 ± 2	U-Pb	diss.	zircons	Mortensen, 1993b
87	Qué.	3 (HMS-2)	Hunter	I1[PP]QZ,FP	2730 ± 1	Pb/Pb	diss.	zircons	Mortensen, 1993b
87	Qué.	3 (HMS-2)	Hunter	I1[PP]QZ,FP	>2730	Pb/Pb	diss.	zircons	Mortensen, 1993b
88	Qué.	4 (4CR-1)	Blake River (Four Corners)	V1B,QZ	2701 ± 1	U-Pb	diss.	zircons	Mortensen, 1993b
89	Qué.	5 (CR-1)	Blake River (Cléricy)	V1[TL]	2698 ± 1	U-Pb	diss.	zircons	Mortensen, 1993b
90	Qué.	6 (FG-2)	Flavrian	I1E	2700 ± 2	Pb/Pb	diss.	zircons	Mortensen, 1993b
90	Qué.	6 (FG-2)	Flavrian	I1E	2701 ± 3/-1	Pb/Pb	diss.	zircons	Mortensen, 1993b
91	Qué.	7 (FG-1)	Flavrian	I1D	indéterminé		diss.	zircons hérités probables	Mortensen, 1993b
92	Qué.	8 (CGR-1)	Cléricy	I1B	2696 ± 2	U-Pb	diss.	zircons	Mortensen, 1993b
93	Qué.	9 (LDG-1)	Lac Dufault	I1C	2690 ± 2	Pb/Pb	diss.	zircons	Mortensen, 1993b
93	Qué.	9 (LDG-1)	Lac Dufault	I1C	2690 ± 2	U-Pb	diss.	zircons	Mortensen, 1993b
93	Qué.	9 (LDG-1)	Lac Dufault	I1C	2686	Pb/Pb	diss.	titanites	Mortensen, 1993b
94	Qué.	10 (LAB-1)	Lac Abitibi	I1C,FP	2690 ± 1	U-Pb	diss.	zircons	Mortensen, 1993b
95	Qué.	11 (ING-1)	île Nepawa	I1D	2695 ± 2	U-Pb	diss.	zircons	Mortensen, 1993b
96	Qué.	12 (PGR-1)	Colombourg	I1C	2696 ± 3	U-Pb	diss.	zircons	Mortensen, 1993b
97	Ont.	13 (RLB-1)	Round Lake	I1D	2698 ± 5	U-Pb	diss.	zircons, âge maximum	Mortensen, 1993b
98	Ont.	14 (ICS-1)	Indian Chute	I1C	2697 ± 2	U-Pb	diss.	zircons	Mortensen, 1993b
99	Qué.	15 (CSY-1)	Syénite de Cléricy	I2D,AG,aegerine	2684 ± 1	U-Pb	diss.	zircons	Mortensen, 1993b
99	Qué.	15 (CSY-1)	Syénite de Cléricy	I2D,AG,aegerine	2680 ± 0,5	Pb/Pb	diss.	zircons, âge minimum	Mortensen, 1993b
99	Qué.	15 (CSY-1)	Syénite de Cléricy	I2D,AG,aegerine	2682 ± 3	Pb/Pb	diss.	zircons, meilleure estimation	Mortensen, 1993b

100	Ont.	Skead		2709 ± 2	U-Pb	diss.	zircons, Nunes c. pers. ds Jensen (1985)	Mortensen, 1987
100	Ont.	correspond plutôt au Larder Lake selon Corfu et al. (1989) à cause d'une erreur de localisation						
101	Qué.	LAPPARENT	M1(I1D)	2714 ± 12-1	U-Pb	diss.	zircons	Mortensen, 1993c
101	Qué.	LAPPARENT	M1(I1D)	2713 ± 3	Pb/Pb	diss.	zircons, meilleure estimation	Mortensen, 1993c
102	Qué.	LAPPARENT	M1(I1D)	2712 ± 1	Pb/Pb	diss.	zircons	Mortensen, 1993c
102	Qué.	LAPPARENT	M1(I1D)	2711 ± 2	U-Pb	diss.	titanites	Mortensen, 1993c
102	Qué.	LAPPARENT	M1(I1D)	2711 ± 1	Pb/Pb	diss.	titanites, meilleure estimation	Mortensen, 1993c
103	Ont.	3	Detour Lake, dyke minéralisé	I1[PP]FP	2722 ± 3	U-Pb	diss.	zircons
104	Ont.	Upper Deloro	V1D[TU]	2727 ± 2	U-Pb	diss.	zircons, éch. N-77-18	Corfu et al., 1989
105	Ont.	Upper Tisdale	V1[TL]	2703 ± 1,5	U-Pb	diss.	zircons, éch. N-77-16	Corfu et al., 1989
106	Ont.	Upper Tisdale	V1B[TL]	2698 ± 4	Pb/Pb	diss.	zircons	Corfu et al., 1989
107	Ont.	DD	Intrusion dans la Fm. Deloro	I4I	2707 ± 3	U-Pb	diss.	zircons, éch. N-77-21
108	Ont.	Aq	Intrusion mine Aquarius	I2J	2705 ± 10	U-Pb	diss.	zircons, base de l'unité
109	Ont.	SR	Stoughton-Roquemaure	V1B	2714 ± 2	U-Pb	diss.	zircons
110	Ont.	LL	Larder Lake	V1[TU]	2705 ± 2	U-Pb	diss.	zircons
111	Ont.	SK	Skead	V1[TU]	2701 ± 3	U-Pb	diss.	zircons
112	Ont.	PaP	Porphyre de Paymaster	I1[PP]	2690 ± 2	U-Pb	diss.	zircons
113	Ont.	PrP	Intr. de Preston, mine Dorne	I1[PP]	2690	U-Pb	diss.	zircons, âge minimum
114	Ont.	PeP	Porphyre Pearl, mine McIntyre	I1[PP]	2689 ± 1	U-Pb	diss.	zircons
115	Ont.	CrP	Porphyre Crown, mine Hollinger	I1[PP]	2688 ± 2	U-Pb	diss.	zircons
116	Ont.	Mip	Porp. Millerton, mine Hollinger	I1[PP]	2691 ± 3	U-Pb	diss.	zircons
117	Ont.	Ab	Dyke d'albitite, mine McIntyre	I1[PP]AB	2673 ± 6-2	U-Pb	diss.	zircons
117	Ont.	Ab	Dyke d'albitite, mine McIntyre	I1[PP]AB	2689 ± 4	Pb/Pb	diss.	zircons
118	Ont.	Ga	Pluton de Garrison	I2F	2678 ± 2	U-Pb	diss.	zircons
119	Ont.	Ot	Pluton de Otto	I2D	2680 ± 1	U-Pb	diss.	zircons et titanites
120	Ont.		Lamprophyre de Bristol	I3O	2687 ± 3	U-Pb	diss.	grenat et titanite
120								Barrie, 1990
121	Qué.	82-18	Pontiac	S1	2637 à 2943 ± 20	U-Pb	diss.	analyse zircon par zircon
122	Qué.	82-17	Pontiac	S1	2535 à 2769	U-Pb	diss.	analyse zircon par zircon
123	Qué.	PT-89-2	Batholite de Rémygny, suite F	I1C[PO]	2682 ± 3	U-Pb	diss.	zircons concordants
123	Qué.	PT-89-2	Batholite de Rémygny, suite F	I1C[PO]	2684 ± 3	U-Pb	diss.	zircons concordants
123	Qué.	PT-89-2	Batholite de Rémygny, suite F	I1C[PO]	2686 ± 3	U-Pb	diss.	excroissances zircons concordantes
123	Qué.	PT-89-2	Batholite de Rémygny, suite F	I1C[PO]	2679	Pb/Pb	diss.	zircons, âge minimum
124	Qué.	PT-89-4	Beaumesnil, suite H	I1B	2630	U-Pb	diss.	zircons, âge minimum
125	Qué.	PT-89-7	Lac des Quinze, suite A	M1(I1D)	2685 ± 9	U-Pb	diss.	zircons, erreur élevée, âge de crist. prob.
126	Qué.	PT-89-9	Suite métá. d'allemand, suite A	M3	2637-2651	Pb/Pb	diss.	zircons, distribution hétérogène
127	Qué.	PT-89-10	Suite métá. d'allemand, suite A	M3	2637-2651	Pb/Pb	diss.	zircons, distribution hétérogène
128	Qué.	PT-89-11	Decelles, suite H	I1B	2658 ± 2	U-Pb	diss.	monazites
129	Qué.	PT-89-12	Intrusion de Hallé	I1B	2651 ± 2	U-Pb	diss.	monazite, âge de cristallisation
130	Qué.	PT-90-2	Tonalite Belleterre-Fugèreville	I1D	2705 ± 3	U-Pb	diss.	zircons
130	Qué.	PT-90-2	Tonalite Belleterre-Fugèreville	I1D	2704	Pb/Pb	diss.	zircons
131	Qué.	PT-90-3	Intrusion de Fabre, suite B	I3I	2694 ± 2	U-Pb	diss.	zircons
132	Qué.	PT-90-4	Angliers-Belleterre	V1B	2686 ± 2	U-Pb	diss.	zircons

133	Qué.	PT-90-5	Granite de La Motte, suite H	I1B	2641 ± 2	U-Pb	diss.	monazite, meilleure estimation	Machado et al., 1991a
133	Qué.	PT-90-5	Granite de La Motte, suite H	I1B	2643 ± 4	U-Pb	diss.	monazite	Machado et al., 1991a
134	Ont.	1	Temagami, unit B	I1 [PP]	2687 ± 2	U-Pb	diss.	zircons	Browins & Hearman, 1991
135	Ont.	2	Temagami, Iceland Lake	I1E, CL	2736 ± 2	U-Pb	diss.	zircons	Browins & Hearman, 1991
136	Ont.	3	Temagami, unit E	V1B	2736 +3/-1	U-Pb	diss.	zircons	Browins & Hearman, 1991
137	Qué.		Porphyre du lac Lanaudière	I1[PP]QZ,FP	2689 ± 3	U-Pb	diss.	zircons, données non publiées, Mortensen	Mueller, c. pers., 1991
138	Qué.		Beattie	I2D[PO]	2681 ± 1	U-Pb	diss.	zircons, données non publiées, Mortensen	Mueller, c. pers., 1993
139	Qué.		Kinojévis, au nord de la FPD	V1B	2718 ± 2	U-Pb	diss.	zircons, résumé de conférence	Zhang et al., 1993
140	Qué.		Normétal, toit du gisement	V1B	2722 ± 3	U-Pb	diss.	zircons, résumé de conférence	Zhang et al., 1993
141	Qué.		Pluton au NE de Normétal	I1D	2710 ± 2	U-Pb	diss.	zircons, résumé de conférence	Zhang et al., 1993
142	Qué.		Rhyolite de Colombière	V1B	2705 ± 1	U-Pb	diss.	zircon	Wong et al., 1991
143	Qué.		Diorite de la mine Sigma	I2J[PO]	2704 ± 3	U-Pb	diss.	zircon	Wong et al., 1991
144	Qué.		Bourlamaque	I1E	2700 ± 1	U-Pb	diss.	zircon	Wong et al., 1991
145	Qué.		Dyke à la mine Sigma	I1[PO]FP	2694 ± 2	U-Pb	diss.	zircon	Wong et al., 1991
146	Qué.		Rhyolite de Colombière	V1B	2684 ± 7	U-Pb	diss.	rutile métamorphique	Wong et al., 1991
147	Qué.		Minéralisation à la mine Sigma		2599 ± 9	U-Pb	diss.	rutile + scheelite du halo hydrothermal	Wong et al., 1991
148	Qué.	GHHA et B	Métam. à la mine Sigma	I2J[PO]	2693 ± 11	Ar/Ar	chauf.	Mg-hornblende, données regroupées	Hanes et al., 1992
149	Qué.	GHHA et B	Métam. à la mine Sigma	I2J[PO]	2671 ± 17	Ar/Ar	chauf.	Fe-hornblende, données regroupées	Hanes et al., 1992
150	Qué.	GHHA	Métam. à la mine Sigma	I2J[PO]	2698 ± 22	Ar/Ar	chauf.	hornblendes	Hanes et al., 1992
151	Qué.	1427	Minéralisation à la mine Sigma	veine de QZ	2579 ± 2	Ar/Ar	chauf.	muscovites	Hanes et al., 1992
152	Qué.	2573	Minéralisation à la mine Sigma	veine de QZ	2573 ± 4	Ar/Ar	chauf.	muscovites	Hanes et al., 1992
153	Qué.		Minéralisation à la mine Sigma	veine de QZ	2431-2533	Ar/Ar	chauf.	biotites, données regroupées	Hanes et al., 1992
154	Ont.		Gisement, Davidson-Tisdale	veine de QZ, Au	2607 ± 10	Ar/Ar	chauf.	muscovite d'une veine aurifère	Hanes et al., 1992
155	Qué.		Dyke à la mine Sigma	I3B	3335 ± 12	Ar/Ar	chauf.	tout l'éch., données regroupées	Hanes et al., 1992
155	Qué.		Dyke à la mine Sigma	I3B				patron en U, valeur minimum 2300 Ma	Hanes et al., 1992
156	Qué.		Minéralisation à la mine Sigma	veine de QZ	2602 ± 20	Sm-Nd	diss.	scheelite	Anglin, 1990
157	Qué.		Xénolithes dans Bourlamaque	I2I (V4A)	2710 ± 5	U-Pb	diss.	zircons, éch. provenant d'un forage	Taner & Trudel, 1989
158	Qué.		Mine Norlartic, zone principale	I1D	2692 ± 2	U-Pb	diss.	zircons, résumé de conférence	Pilote et al., 1993
158	Qué.		Mine Norlartic, zone principale	I1D	2700 ± 2	U-Pb	diss.	zircons hérités, résumé de conférence	Pilote et al., 1993
159	Qué.		Val-d'Or	V1B	2706 ± 3	U-Pb	diss.	zircons, résumé de conférence	Pilote et al., 1993
160	Qué.		Syénite de la mine Camflo	I2C	2683 ± 3	Pb/Pb	diss.	zircons, âge maximum	Jemielita et al., 1990a
160	Qué.		Syénite de la mine Camflo	I2C	2677 ± 2	Pb/Pb	diss.	titanites, âge minimum	Jemielita et al., 1990a
160	Qué.		Syénite de la mine Camflo	I2C	2680 ± 4	Pb/Pb	diss.	titanites, régression avec deux points	Jemielita et al., 1990a
161	Qué.		Minéralisation à la mine Camflo	veine de QZ	2627 ± 2	Pb/Pb	diss.	titanites hydrothermales	Jemielita et al., 1990a
162	Qué.		Minéralisation à la mine Camflo	veine de QZ	2633 ± 3	Pb/Pb	diss.	titanites hydrothermales	Jemielita et al., 1990a
163	Qué.		Veine de scheelite à Camflo	veine de QZ	2600 ± 3	Pb/Pb	diss.	titanites hydrothermales	Jemielita et al., 1990a
164	Qué.		Minéralisation à la mine Camflo	veine de QZ	2625 ± 7	Pb/Pb	diss.	titanite hydrothermale 6 analyses	Jemielita et al., 1990a
165	Qué.	3475 47+74	Mine Camflo	I2F	2685 + 10/-8	U-Pb	diss.	zircons magmatiques+titanites	Zweng et al., 1993
166	Qué.	1500 104+57	Minéralisation à la mine Camflo	veine de QZ, Au	2621 ± 7	Pb/Pb	diss.	titanites, feldspaths K, rutiles	Zweng et al., 1993

166	Qué.	1500 104+57	Minéralisation à la mine Camflo	veine de QZ, Au	2621 ± 4	U-Pb	diss.	titanite hydrothermale	Zweng et al., 1993
167	Qué.	1650 8+11	Minéralisation à la mine Camflo	veine de QZ	2460 ± 9	Ar/Ar	chauf.	biotite de la veine	Zweng et al., 1993
168	Qué.	3475 18+57	Minéralisation à la mine Camflo	veine de QZ	2555 ± 9	Ar/Ar	chauf.	muscovite de la veine	Zweng et al., 1993
169	Qué.	1650 8-10	Minéralisation à la mine Camflo	veine de QZ	2507 ± 19	Ar/Ar	chauf.	séricite du halo d'altération	Zweng et al., 1993
170	Qué.	1650 8-10	Minéralisation à la mine Camflo	veine de QZ	2529 ± 25	Ar/Ar	chauf.	séricite du halo d'altération	Zweng et al., 1993
171	Qué.		Dyke interminéralisation, Kiena	I1C	2686 ± 2	U-Pb	diss.	zircons, résumé de conférence	Morasse et al., 1993
172	Qué.		Mine Kiena	I1[PP]FP	2696 ± 3	U-Pb	diss.	sur un zircon hérité, résumé de conférence	Morasse et al., 1993
173	Qué.		Snowshoe	I1C	2694 ± 3	U-Pb	diss.	zircons, résumé de conférence	Morasse et al., 1993
174	Qué.		Min. à la mine Bras d'Or	veine, QZ,TL,Au	2694 ± 70	Pb/Pb	SHRIMP	zircons	Claoué-Long et al., 1990
175	Qué.		Min. à la mine Pascalis-nord	veine, QZ,TL,Au	2697 ± 19	Pb/Pb	SHRIMP	zircons	Claoué-Long et al., 1990
176	Qué.		Min. à la mine Sigma	veine, QZ,TL,Au	2682 ± 8	Pb/Pb	SHRIMP	zircons	Claoué-Long et al., 1990
177	Qué.		Min. à la mine Bevcon	veine, QZ,TL,Au	2704 ± 6	Pb/Pb	SHRIMP	zircons	Claoué-Long et al., 1990
178	Qué.		Min. à la mine Bevcon	veine, QZ,TL,Au	2681 ± 6	Pb/Pb	SHRIMP	zircons	Claoué-Long et al., 1990
179	Qué.		Bourlamaque	I1E	2711 ± 12	Pb/Pb	SHRIMP	zircons	Claoué-Long et al., 1990
180	Qué.		Min. à la mine Bras d'Or	veine, QZ,TL,Au	2690 ± 17	Pb/Pb	évap.	analyse sur un zircon	Kerrick & King, 1993
181	Qué.		Cadillac	S1	2420 ± 19	Rb-Sr	diss.	isochrone, tout l'éch.	Kerrick et al., 1987
182	Qué.		Mine Thompson-Bousquet	veine	2394 ± 26	Rb-Sr	diss.	isochrone	Kerrick, 1986
183	Qué.		Mine Donald J. La Ronde	veine	2550 ± 30	Ar/Ar	chauf.	muscovite	Kerrick, 1986
184	Ont.		Mine Macassa	veine	2575 ± 50	Ar/Ar	chauf.	actinolite	Kerrick, 1986
185	Ont.		Mine Kerr Addison	veine	2510 ± 50	Rb-Sr	diss.	isochrone	Kerrick, 1986
186	Ont.		Mine Kerr Addison	veine	2550 ± 40	Ar/Ar	chauf.	muscovite	Kerrick, 1986
187	Ont.		Gisements de Timmins	veine de QZ,Au	2403 ± 47	Sm-Nd	diss.	scheelite	Bell et al., 1989
187	Ont.		Mines Hollinger, McIntyre et Coniaurum					isochrone avec plusieurs éch.	Bell et al., 1989
188	Ont.		Mine Dome	veine de QZ	2633 ± 6	Ar/Ar	chauf.	muscovite	Masiwec et al., 1986 et Layer et al., 1987
188	Ont.		Mine Dome	veine de QZ	2670 ± 2	Ar/Ar	chauf.	muscovite	Masiwec et al., 1986 et Layer et al., 1987
189	Ont.		Mine Hollinger	veine de QZ	2617 ± 8	Ar/Ar	chauf.	muscovite	Masiwec et al., 1986 et Layer et al., 1987
189	Ont.		Mine Hollinger	veine de QZ	2688 ± 3	Ar/Ar	chauf.	muscovite	Masiwec et al., 1986 et Layer et al., 1987
190	Ont.		Mine Hollinger	veine de QZ	2441 ± 24	Rb-Sr	diss.	tout l'éch.	Kerrick et al., 1987
191	Ont.		Mine Hollinger	veine de QZ	2570 ± 30	Ar/Ar	chauf.	muscovite	Kerrick et al., 1987
192	Qué.		Minéralisation Au, mine Silidor		2562 ± 15	Pb/Pb	diss.	plusieurs minéraux de veine	Carignan & Gariépy, 1993
193	Qué.		Taschereau	I1D	2820 ± 100	Pb/Pb	diss.	feldspath K	Carignan & Gariépy, 1993
194	Qué.		Taschereau	I1B	2710 ± 26	Pb/Pb	diss.	plusieurs minéraux	Carignan & Gariépy, 1993
195	Qué.		Launay	I2D	2612 ± 36	Pb/Pb	diss.	plusieurs minéraux, peut-être pas d'âge	Carignan & Gariépy, 1993
196	Qué.		Mine du lac Shortt	minéralisation	2652	Pb/Pb	diss.	âge modèle	Morasse, 1988
197	Qué.		Complexe du lac Doré	I1D et I1[PP]	2520 ± 141	Rb-Sr	diss.	plusieurs éch.	Guha & Thorpe, 1980
								populations diverses et zircons complexes	
198	Qué.	OP311	Lac Rodayer	I1D	2830 ± 3	U-Pb	diss.	noyer d'un zircon	Davis et al., 1993a

198	Qué.	OP311	Lac Rodayer	I1D	2833	Pb/Pb	diss.	noyau d'un zircon	Davis et al., 1993a
198	Qué.	OP311	Lac Rodayer	I1D	2832	U-Pb	diss.	surcroissance de zircons, âge minimum	Davis et al., 1993a
198	Qué.	OP311	Lac Rodayer	I1D	2803	Pb/Pb	diss.	surcroissance de zircons	Davis et al., 1993a
198	Qué.	OP311	Lac Rodayer	I1D	2821	U-Pb	diss.	zircons homogènes	Davis et al., 1993a
199	Qué.	OP310	Lac Rodayer	I2J	2829 ± 4	U-Pb	diss.	noyau d'un zircon	Davis et al., 1993a
199	Qué.	OP310	Lac Rodayer	I2J	2823 ± 3	U-Pb	diss.	surcroissance de zircons, âge minimum	Davis et al., 1993a
199	Qué.	OP310	Lac Rodayer	I2J	2826 ± 4	U-Pb	diss.	surcroissance de zircons	Davis et al., 1993a
200	Qué.	OP242	Gneiss gris	M1	2702 ± 5	U-Pb	diss.	zircons	Davis et al., 1993a
200	Qué.	OP242	Gneiss gris	M1	2699	U-Pb	diss.	zircons	Davis et al., 1993a
200	Qué.	OP242	Gneiss gris	M1	2702	Pb/Pb	diss.	zircons	Davis et al., 1993a
200	Qué.	OP242	Gneiss gris	M1	2701	U-Pb	diss.	zircons, meilleure estimation	Davis et al., 1993a
200	Qué.	OP242	Gneiss gris	M1	2681 ± 3	U-Pb	diss.	titanites	Davis et al., 1993a
201	Qué.	OP300	Gneiss gris	M1	2717 ± 4	U-Pb	diss.	analyse sur un zircon, âge maximum	Davis et al., 1993a
201	Qué.	OP300	Gneiss gris	M1	2739	Pb/Pb	diss.	zircons hérités	Davis et al., 1993a
201	Qué.	OP300	Gneiss gris	M1	2761	Pb/Pb	diss.	zircons hérités	Davis et al., 1993a
202	Qué.	OP220	Canet	I1	2693 +4/-2	U-Pb	diss.	zircons et titanites	Davis et al., 1993a
203	Qué.	OP232a	Lac Ouescapis	I1	2693 ± 2	U-Pb	diss.	zircons	Davis et al., 1993a
203	Qué.	OP232a	Lac Ouescapis	I1	2677 ± 3	U-Pb	diss.	titanites	Davis et al., 1993a
203	Qué.	OP232a	Lac Ouescapis	I1	2678 ± 5	U-Pb	diss.	titanites	Davis et al., 1993a
204	Qué.	OP268		I1B	2678 ± 3	U-Pb	diss.	monazites	Davis et al., 1993a
204	Qué.	OP268		I1B	2677 ± 3	U-Pb	diss.	monazites	Davis et al., 1993a
204	Qué.	OP268		I1B	2679	Pb/Pb	diss.	titanites	Davis et al., 1993a
204	Qué.	OP268		I1B	2676	Pb/Pb	diss.	titanites	Davis et al., 1993a
205	Qué.		Rivière Nottaway	I1B[CS]	2672 ± 3	U-Pb	diss.	titanites	Davis et al., 1993a
205	Qué.		Rivière Nottaway	I1B[CS]	2657 ± 3	U-Pb	diss.	titanites, âge d'un cisaillement dextre rég.	Davis et al., 1993a
206	Qué.		Pluton de Mistaouac	I1	2724-2727	U-Pb	diss.	titanites et zircons	Davis et al., 1993b
206	Qué.		Pluton de Mistaouac	I1	2753	Pb/Pb	diss.	zircons hérités	Davis et al., 1993b
206	Qué.		Pluton de Mistaouac	I1	2727 ± 9	Pb/Pb	diss.	titanites	Davis et al., 1993b
206	Qué.		Pluton de Mistaouac	I1	2724 ± 4	Pb/Pb	diss.	titanites	Davis et al., 1993b
207	Qué.		Complexe de Boivin	I1D	2714 ± 2	U-Pb	diss.	zircons	Davis et al., 1993b
208	Qué.		Pluton de Rousseau	I1D	2703	Pb/Pb	diss.	titanites	Davis et al., 1993b
208	Qué.		Pluton de Rousseau	I1D	2703 ± 3	U-Pb	diss.	zircons	Davis et al., 1993b
208	Qué.		Pluton de Rousseau	I1D	2712	Pb/Pb	diss.	probablement des zircons hérités	Davis et al., 1993b
209	Ont.		Granite du lac Case	I1B	2677	Pb/Pb	diss.	analyse sur une monazite	Davis et al., 1993b
209	Ont.		Granite du lac Case	I1B	2675 ± 3	Pb/Pb	diss.	analyse sur une monazite	Davis et al., 1993b
210	Ont.		Granite du lac Case	pegmatite	2660 ± 3	U-Pb	diss.	analyse sur une monazite	Davis et al., 1993b
211	Ont.		Alexo	V4A	2752 ± 87	Sm-Nd	diss.	toute la roche	Dupré et al., 1984
212	Ont.		Alexo	V4A	2690 ± 15	Pb/Pb	diss.	toute la roche	Dupré et al., 1984
213	Ont.		Alexo	V4A	2692 ± 36	Pb/Pb	diss.	sulfures Ni	Dupré & Arndt, 1987
214	Ont.		Alexo	V3B	2584 ± 146	Pb/Pb	diss.	sulfures Ni	Dupré & Arndt, 1987
								recalculées de Brévert et al., 1986	Dupré & Arndt, 1987
215	Ont.		Munro, Pyke Hill	V4A	2738 ± 26	Pb/Pb	diss.	toute la roche, données combinées	Dupré & Arndt, 1987
216	Ont.		Munro, Fred's Flow	V4A	2574 ± 39	Pb/Pb	diss.	toute la roche, données combinées	Dupré & Arndt, 1987
217	Ont.		Munro, Theo's Flow	V4A	2478 ± 252	Pb/Pb	diss.	toute la roche, données combinées	Dupré & Arndt, 1987

218	Ont.	Munro, Pyke Hill	V4A	2726 ± 93	Re-Os	diss.	avec plusieurs éch.	Walker et al., 1988
219	Ont.	Munro, Pyke Hill	V4A	2385 ± 275	Sm-Nd	diss.	avec plusieurs éch.	Walker et al., 1988
219	Ont.	Munro, Pyke Hill	V4A	2385 ± 275	Sm-Nd	diss.	avec plusieurs éch., avec correction	Walker et al., 1988
220	Ont.	Munro	V4A,V3B et 14	2622 ± 120	Sm-Nd	diss.	avec plusieurs éch. Theo's flow et Munro-Warden sill	Zindler, 1982
220	Ont.	Munro						Zindler, 1982
221	Ont.	KGC	Complexe de Kamiskotia	I3A	2707 ± 2	U-Pb	diss.	zircons
222	Ont.	KR	Kamiskotia	V1B	2705 ± 2	U-Pb	diss.	zircons
223	Ont.	GC	Granitoïde C	I1D	2695 ± 2	U-Pb	diss.	zircons
223	Ont.	GC	Granitoïde C	I1D	2692 ± 5	Pb/Pb	diss.	titanites, âge minimum
224	Ont.	GB	Granitoïde B	I1D	2694 ± 4	U-Pb	diss.	zircons
224	Ont.	GB	Granitoïde B	I1D	2698 ± 8	U-Pb	diss.	zircons
224	Ont.	GB	Granitoïde B	I1D	3560 ± 200	U-Pb	diss.	zircons, intersection supérieure avec no.15
224	Ont.	GB	Granitoïde B	I1D	3560 ± 200	U-Pb	diss.	probablement des zircons hérités
224	Ont.	GB	Granitoïde B	I1D	2640 ± 25	U-Pb	diss.	zircons
225	Ont.	KCR et N-77-22	Kidd Creek	V1B	2717 ± 2	U-Pb	diss.	zircons + données de Nunes & Pyke (1980)
226	Ont.	PR	Prosser	V1B	2716 ± 4	U-Pb	diss.	zircon
227	Ont.	RR	Reid	V1B	2705 +5/-3	U-Pb	diss.	zircon
228	Ont.		Kidd Creek	V1B	2674 ± 40	Sm-Nd	diss.	plusieurs éch., âge minimum du gisement
229	Ont.		Kidd Creek	V1B	2576 ± 26	Rb-Sr	diss.	perturbation isotopique
230	Ont.		Kidd Creek	V1B	2640 ± 60	Pb/Pb	diss.	plusieurs éch.
231	Ont.		Kidd Creek	V1B	2710 ± 30	Sm-Nd	diss.	plusieurs éch. et plusieurs minéraux
232	Ont.		Kidd Creek	V1B	2450 ± 30	Rb-Sr	diss.	plusieurs éch. et plusieurs minéraux
233	Ont.		Cote	I1D	2615 ± 15	Rb-Sr	diss.	plusieurs éch. et plusieurs minéraux
234	Ont.		Groundhog River	I1D	2530 ± 35	Sm-Nd	diss.	plusieurs éch. et plusieurs minéraux
235	Ont.		Groundhog River	I1D	2530 ± 35	Rb-Sr	diss.	plusieurs éch. et plusieurs minéraux
236	Ont.		Kidd Creek	V1B	2624 ± 62	Pb/Pb	diss.	rutile, âge de l'altération K et CL
237	Ont.		Kidd Creek	V1B	2659 ± 3	Pb/Pb	diss.	monazite,âge de l'altération K et CL
238	Ont.	a	Kidd Creek	V4A	2618 ± 5	Ar/Ar	laser	fuchsite, âge intégré, métasomatisme K
238	Ont.	b	Kidd Creek	V4A	2630 ± 5	Ar/Ar	laser	fuchsite, âge intégré, métasomatisme K
238	Ont.	c	Kidd Creek	V4A	2612 ± 5	Ar/Ar	laser	fuchsite, âge intégré, métasomatisme K
238	Ont.	d	Kidd Creek	V4A	2605 ± 4	Ar/Ar	laser	fuchsite, âge intégré, métasomatisme K
238	Ont.	e	Kidd Creek	V4A	2626 ± 5	Ar/Ar	laser	fuchsite, âge intégré, métasomatisme K
238	Ont.	f	Kidd Creek	V4A	2631 ± 4	Ar/Ar	laser	fuchsite, âge intégré, métasomatisme K
238	Ont.	g	Kidd Creek	V4A	2598 ± 6	Ar/Ar	laser	fuchsite, âge intégré, métasomatisme K
238	Ont.	h	Kidd Creek	V4A	2601 ± 7	Ar/Ar	laser	fuchsite, âge intégré, métasomatisme K
238	Ont.	i	Kidd Creek	V4A	2622 ± 6	Ar/Ar	laser	fuchsite, âge intégré, métasomatisme K
238	Ont.	j	Kidd Creek	V4A	2621 ± 7	Ar/Ar	laser	fuchsite, âge intégré, métasomatisme K
238	Ont.		Kidd Creek	V4A	2618 ± 8	Ar/Ar	laser	fuchsite, âge intégré moyen
239	Ont.		Ghost Range	I3A[PG]	2713 +7/-5	U-Pb	diss.	zircons
240	Ont.		Gauthier	V1[TU]	2700 ± 3	U-Pb	diss.	zircons

241	Ont.	Skead	V1[TU]	2701 ± 3	U-Pb	diss.	zircons, éch. différent de Corfu et al. (1989)	Corfu, 1993	
242	Ont.	Lebel	I2D-I2F	2673 ± 2	Pb/Pb	diss.	zircon et titanites, résumé de conférence	Wilkinson et al., 1993	
242	Ont.	Lebel	I2D-I2F	2679 ± 8/-4	U-Pb	diss.	zircon et titanites, résumé de conférence	Wilkinson et al., 1993	
243	Ont.	Murdock Creek	I2D	2673 ± 2	Pb/Pb	diss.	zircon et titanites, résumé de conférence	Wilkinson et al., 1993	
243	Ont.	Murdock Creek	I2D	2665 ± 4	Pb/Pb	diss.	titanites, post cristallisation, durant D1	Wilkinson et al., 1993	
244	Ont.	Ak	Lamprophyre	I3O	2674 ± 2	U-Pb	diss.	titanites, localisation (Corfu et al., 1991)	Wyman & Kerrich, 1987
245	Ont.	TBv	Bear Lake	V agglomérat	2677 ± 2	U-Pb	diss.	zircons	Corfu et al., 1991
245	Ont.	TBv	Bear Lake	V agglomérat	2675-2677 ± 2	Pb/Pb	diss.	zircon	Corfu et al., 1991
246	Ont.	TCs	Timiskaming (Chaput Hugues)	S1	2680 ± 3	U-Pb	diss.	zircons, sédimentation < 2680 Ma	Corfu et al., 1991
246	Ont.	TCs	Timiskaming (Chaput Hugues)	S1	2676-2723	Pb/Pb	diss.	zircons, sédimentation < 2676 Ma	Corfu et al., 1991
246	Ont.	TCs	Timiskaming (Chaput Hugues)	S1	2707 ± 7	U-Pb	diss.	zircons, sédimentation < 2707 Ma	Corfu et al., 1991
246	Ont.	TCs	Timiskaming (Chaput Hugues)	S1	2691 ± 7	U-Pb	diss.	zircons, sédimentation < 2691 Ma	Corfu et al., 1991
247	Ont.	TCcl	Timiskaming (Chaput Hugues)	I1[PP]FP	2680 ± 4	U-Pb	diss.	zircons, fragment de I1[PP] dans le S4D	Corfu et al., 1991
248	Ont.	TCc2	Timiskaming (Chaput Hugues)	I1[PP]FP	2682-2685	Pb/Pb	diss.	zircons, fragment de I1[PP] dans le S4D	Corfu et al., 1991
249	Ont.	TLs	Larder Lake	S1	2679 ± 3	U-Pb	diss.	zircons, sédimentation < 2679 Ma	Corfu et al., 1991
249	Ont.	TLs	Larder Lake	S1	2679-2686	Pb/Pb	diss.	zircons, sédimentation < 2679 Ma	Corfu et al., 1991
250	Ont.	TLd	Larder Lake, recoupant les séd.	I1[PP]QZ,FP		U-Pb	diss.	population complexe de zircons	Corfu et al., 1991
250	Ont.	TLd	Larder Lake, recoupant les séd.	I1[PP]QZ,FP	2729 ± 3	Pb/Pb	diss.	probablement des zircons hérités	Corfu et al., 1991
250	Ont.	TLd	Larder Lake, recoupant les séd.	I1[PP]QZ,FP	2726 ± 2	U-Pb	diss.	probablement des zircons hérités	Corfu et al., 1991
250	Ont.	TLd	Larder Lake, recoupant les séd.	I1[PP]QZ,FP	2722 ± 3	U-Pb	diss.	probablement des zircons hérités	Corfu et al., 1991
250	Ont.	TLd	Larder Lake, recoupant les séd.	I1[PP]QZ,FP	2681 ± 2	U-Pb	diss.	zircon de roches encaissantes ?	Corfu et al., 1991
250	Ont.	TLd	Larder Lake, recoupant les séd.	I1[PP]QZ,FP	2676-2678	Pb/Pb	diss.	titanites	Corfu et al., 1991
250	Ont.	TLd	Larder Lake, recoupant les séd.	I1[PP]QZ,FP	2677 ± 3	U-Pb	diss.	titanites, meilleure estimation	Corfu et al., 1991
250	Ont.	TLd	Dyke déformé recoupant les séd.				diss.	2677 Ma, âge maximum des sédiments	Corfu et al., 1991
250	Ont.	TLd	Dyke déformé recoupant les séd.				diss.	2677 Ma, âge minimum de la déformation	Corfu et al., 1991
251	Ont.	TBp	Bidgood, recoupant les séd.	I1[PP]QZ,[CS]	2694 ± 3	Pb/Pb	diss.	zircons hérités	Corfu et al., 1991
251	Ont.	TBp	Bidgood, recoupant les séd.	I1[PP]QZ,[CS]	2683-2688	Pb/Pb	diss.	zircons, sédimentation < 2683 Ma	Corfu et al., 1991
251	Ont.	TBp	Bidgood, recoupant les séd.	I1[PP]QZ,[CS]	2685 ± 3	U-Pb	diss.	zircons, meilleure estimation	Corfu et al., 1991
252	Ont.	TTs	Mine Pamour	S1	2691-2693	Pb/Pb	diss.	zircons, sédimentation < 2691 Ma	Corfu et al., 1991
252	Ont.	TTs	Mine Pamour	S1	2679-2685	Pb/Pb	diss.	zircons, sédimentation < 2679 Ma	Corfu et al., 1991
252	Ont.	TTs	Mine Pamour	S1	2679 ± 4	U-Pb	diss.	zircons, sédimentation < 2679 Ma	Corfu et al., 1991
252	Ont.	TTs	Mine Pamour	S1	2679 ± 3	U-Pb	diss.	zircons, sédimentation < 2679 Ma	Corfu et al., 1991
253	Ont.	Ld	Lamprophyre	I3O	2755 ± 3	U-Pb	diss.	analyse sur un zircon probablement hérité	Corfu et al., 1991
253	Ont.	Ld	Lamprophyre	I3O	2752 ± 5	U-Pb	diss.	analyse sur un zircon probablement hérité	Corfu et al., 1991
254	Ont.	TA	Timiskaming	V2 alcalins	2702 ± 105	Sm-Nd	diss.	plusieurs éch.	Basu et al., 1984
255	Qué.	LC-54 1	Lac Caste	S1	2882 ± 52	Pb/Pb	évap.	zircon, sédimentation < 2882 Ma	Feng & Kerrich, 1991
255	Qué.	LC-54 2	Lac Caste	S1	2808 ± 8	Pb/Pb	évap.	zircon, sédimentation < 2808 Ma	Feng & Kerrich, 1991
255	Qué.	LC-54 3	Lac Caste	S1	2866 ± 8	Pb/Pb	évap.	zircon, sédimentation < 2866 Ma	Feng & Kerrich, 1991
255	Qué.	LC-54 4	Lac Caste	S1	2818 ± 12	Pb/Pb	évap.	zircon, sédimentation < 2818 Ma	Feng & Kerrich, 1991
255	Qué.	LC-54 5	Lac Caste	S1	3042 ± 6	Pb/Pb	évap.	zircon, sédimentation < 3042 Ma	Feng & Kerrich, 1991
255	Qué.	LC-54 6	Lac Caste	S1	2795 ± 7	Pb/Pb	évap.	zircon, sédimentation < 2795 Ma	Feng & Kerrich, 1991
255	Qué.	LC-54 7	Lac Caste	S1	2719 ± 4	Pb/Pb	évap.	zircon, sédimentation < 2719 Ma	Feng & Kerrich, 1991
255	Qué.	LC-54 8	Lac Caste	S1	3014 ± 4	Pb/Pb	évap.	zircon, sédimentation < 3014 Ma	Feng & Kerrich, 1991

255	Qué.	LC-54 9	Lac Caste	S1	2830 ± 12	Pb/Pb	évap.	zircon, sédimentation < 2830 Ma	Feng & Kerrich, 1991
255	Qué.	LC-54 10	Lac Caste	S1	2691 ± 8	Pb/Pb	évap.	zircon, sédimentation < 2691 Ma	Feng & Kerrich, 1991
256	Qué.	LC-42 1	Lac Caste	S1	2715 ± 16	Pb/Pb	évap.	zircon, sédimentation < 2715 Ma	Feng & Kerrich, 1991
256	Qué.	LC-42 2	Lac Caste	S1	2695 ± 4	Pb/Pb	évap.	zircon, sédimentation < 2695 Ma	Feng & Kerrich, 1991
256	Qué.	LC-42 3	Lac Caste	S1	2775 ± 47	Pb/Pb	évap.	zircon, sédimentation < 2775 Ma	Feng & Kerrich, 1991
257	Qué.	PT-2	Pontiac	I2	2671 ± 4	Pb/Pb	évap.	zircon	Feng & Kerrich, 1991
257	Qué.	PT-2	Pontiac	I2	2675 ± 8	Pb/Pb	évap.	zircon	Feng & Kerrich, 1991
257	Qué.	PT-2	Pontiac	I2	2671 ± 8	Pb/Pb	évap.	zircon	Feng & Kerrich, 1991
258	Qué.	LC-23	Lacorne	I2	2675 ± 24	Pb/Pb	évap.	zircon	Feng & Kerrich, 1991
259	Qué.	PS-13 1	Pontiac	I1B, MV,GR	2643 ± 8	Pb/Pb	évap.	zircon	Feng & Kerrich, 1991
259	Qué.	PS-13 2	Pontiac	I1B, MV,GR	2655 ± 8	Pb/Pb	évap.	zircon	Feng & Kerrich, 1991
259	Qué.	PS-13 3	Pontiac	I1B, MV,GR	2643 ± 4	Pb/Pb	évap.	zircon	Feng & Kerrich, 1991
259	Qué.	PS-13 4	Pontiac	I1B, MV,GR	2647 ± 8	Pb/Pb	évap.	zircon	Feng & Kerrich, 1991
260	Qué.	LC-11 1	Lacorne	I1B, MV,GR	2631 ± 20	Pb/Pb	évap.	zircon	Feng & Kerrich, 1991
260	Qué.	LC-11 2	Lacorne	I1B, MV,GR	2643 ± 12	Pb/Pb	évap.	zircon	Feng & Kerrich, 1991
261	Qué.	LC-30 1	Lacorne	I1B, MV,GR	2643 ± 4	Pb/Pb	évap.	zircon	Feng & Kerrich, 1991
262	Qué.	LC-23	Lacorne, I2 syntectoniques	I2	2625 ± 6	Ar/Ar	chauf.	amphiboles, cristallisation 2681 ± 4	Feng et al., 1992
263	Ont.	PT-2	Pontiac, I2 syntectoniques	I2	2601 ± 8	Ar/Ar	chauf.	amphiboles, cristallisation 2679 ± 4	Feng et al., 1992
263	Qué.	PT-2	Pontiac, I2 syntectoniques	I2	2455 ± 9	Ar/Ar	chauf.	biotite	Feng et al., 1992
264	Qué.	JN-5	Round Lake, I2 syntectoniques	I2	2626 ± 10	Ar/Ar	chauf.	amphiboles, refroidis. 2669 ± 6	Feng et al., 1992
265	Qué.	LC-51	Lacorne	pegmatite	2615 ± 10	Ar/Ar	chauf.	muscovite	Feng et al., 1992
266	Qué.	LC-49	Lacorne	pegmatite	2596 ± 8	Ar/Ar	chauf.	muscovite	Feng et al., 1992
267	Qué.	PS-11	Pontiac	pegmatite	2572 ± 6	Ar/Ar	chauf.	muscovite, âge de refroidissement ?	Feng et al., 1992
268	Qué.	LC-13	Lacorne	M16	2589 ± 10	Ar/Ar	chauf.	amphiboles, dérangé, 2677 ± 6 âge métä.	Feng et al., 1992
269	Qué.	LC-54	Lacorne	M8	2537 ± 8	Ar/Ar	chauf.	muscovite, patron dérangé	Feng et al., 1992
270	Qué.	PT-A	Pontiac	I1D	2634 ± 11	Ar/Ar	chauf.	amphiboles, patron dérangé	Feng et al., 1992
271	Qué.	PS-34	Pontiac	M8	2376 ± 8	Ar/Ar	chauf.	biotite, patron dérangé	Feng et al., 1992
272	Qué.	PS-33	Pontiac	M8	2434 ± 8	Ar/Ar	chauf.	biotite, patron dérangé	Feng et al., 1992
273	Qué.	PS-9	Pontiac	M8	2491 ± 9	Ar/Ar	chauf.	muscovite, patron dérangé	Feng et al., 1992
273	Qué.	PS-9	Pontiac	M8	2058 ± 2	Ar/Ar	chauf.	biotite, patron en forme de selle	Feng et al., 1992
274	Qué.	PS-12	Pontiac	M8	1892 ± 11	Ar/Ar	chauf.	biotite, patron en forme de selle	Feng et al., 1992
275	Qué.	LCF-1	Cadillac	S4D	2508 ± 9	Ar/Ar	chauf.	biotite, refroidissement 2513 ± 10	Feng et al., 1992
276	Qué.		Pontiac (Bellecombe)	S1	2694 ± 3	U-Pb	diss.	sur un zircon, sédimentation < 2694 Ma	Davis, 1992
277	Qué.		Cadillac (ruis. Davidson)	S1	2688 ± 3	U-Pb	diss.	sur un zircon, sédimentation < 2688 Ma	Davis, 1992
278	Qué.		Kewagama	S1	2687 ± 3	U-Pb	diss.	sur un zircon, sédimentation < 2687 Ma	Davis, 1992
279	Qué.		Timiskaming	S1	2679 ± 3	U-Pb	diss.	sur un zircon, sédimentation < 2679 Ma	Davis, 1992
280	Qué.		Timiskaming, Lac LaBruère	S1	2689 ± 3	U-Pb	diss.	sur un zircon, sédimentation < 2689 Ma	Davis, 1992
281	Qué.		Dyke recoupant le Timis.	I2	2673 ± 3	U-Pb	diss.	titanite, mine Granada nombreux zircons entre 2690 et 2730 Ma localisation dans Davis (1991)	Davis, 1992
282	Qué.	PT 89-1	Lac Opasatica	M1(I1D)	2660 ± 6	U-Pb	diss.	titanite, épisode de métamorphisme	Machado et al., 1991b
283	Qué.	PT 89-5	Tour de Belleterre	I2H	2669 ± 3	Pb/Pb	diss.	zircons	Machado et al., 1991b
284	Qué.	PT 89-6	Lac Maple	I1C	2692	Pb/Pb	diss.	analyse sur un zircon rose hérité	Machado et al., 1991b
284	Qué.	PT 89-6	Lac Maple	I1C	2678 +3/-2	U-Pb	diss.	zircons	Machado et al., 1991b
285	Qué.	PT 89-8	Lac Simard	I2F	2686 +4/-3	U-Pb	diss.	zircons	Machado et al., 1991b

285	Qué.	PT 89-8	Lac Simard	I2F	2675 ± 6	U-Pb	diss.	titanites	Machado et al., 1991b
286	Qué.	PT 89-12	Hallé (Decelles)	I1B	2702	Pb/Pb	diss.	zircons hérités	Machado et al., 1991b
286	Qué.	PT 89-12	Hallé (Decelles)	I1B	2697	Pb/Pb	diss.	zircons hérités	Machado et al., 1991b
286	Qué.	PT 89-12	Hallé (Decelles)	I1B	2632 ± 3	Pb/Pb	diss.	surcroissances de zircons, âge de cristalli.	Machado et al., 1991b
286	Qué.	PT 89-12	Hallé (Decelles)	I1B	2650 ± 2	U-Pb	diss.	monazite héritée	Machado et al., 1991b
286	Qué.	PT 89-12	Hallé (Decelles)	I1B	2654	Pb/Pb	diss.	monazite héritée	Machado et al., 1991b
286	Qué.	PT 89-12	Hallé (Decelles)	I1B	2647	Pb/Pb	diss.	monazite héritée	Machado et al., 1991b
286	Qué.	PT 89-12	Hallé (Decelles)	I1B	2690 ± 4	U-Pb	diss.	zircons hérités	Machado et al., 1991b
287	Qué.	PT 89-9	Baie de Lys	M1(I1D)	2686	Pb/Pb	diss.	noyaux de zircons	Machado et al., 1991b
287	Qué.	PT 89-9	Baie de Lys	M1(I1D)	2648	Pb/Pb	diss.	surcroissances de zircons	Machado et al., 1991b
287	Qué.	PT 89-9	Baie de Lys	M1(I1D)	2637 ± 3	U-Pb	diss.	titanite	Machado et al., 1991b
288	Qué.		Mine Lorraine Cu-Ni		2000 ± 200	Pb/Pb	diss.	plusieurs minéraux	Carignan et al., 1993
289	Qué.		Kerr Addison prospect Ni		2692 ± 36	Pb/Pb	diss.	plusieurs minéraux	Carignan et al., 1993
290	Qué.		Prospect Patry Cu		2172 ± 17	Pb/Pb	diss.	mesures de la pente	Carignan et al., 1993
291	Qué.		Prospect Patry Cu	I1D	2736 ± 38	Pb/Pb	diss.	feldspath K et plagioclase	Carignan et al., 1993
292	Qué.		Prospect Patry Cu		2050 ± 48	Pb/Pb	diss.	sulfures	Carignan et al., 1993
293	Qué.		Mine Wright		2210 ± 40	Pb/Pb	diss.	plusieurs minéraux	Carignan et al., 1993
294	Qué.	1	Angliers	V1D	2682 ± 1	U-Pb	diss.	zircons	Mortensen & Card, 1993
294	Qué.	1	Angliers	V1D	2685,4	Pb/Pb	diss.	zircons hérités ?	Mortensen & Card, 1993
295	Qué.	2	Belleterre	V1[BR]QZ,FP	2702-2709	Pb/Pb	diss.	zircons hérités ?	Mortensen & Card, 1993
295	Qué.	2	Belleterre	V1[BR]QZ,FP	2690 ± 2	Pb/Pb	diss.	zircons	Mortensen & Card, 1993
296	Qué.	3	Belleterre	I1[PPI]QZ,FP	2705-2707	Pb/Pb	diss.	zircons hérités ?	Mortensen & Card, 1993
296	Qué.	3	Belleterre	I1[PPI]QZ,FP	2685 ± 1	Pb/Pb	diss.	zircons	Mortensen & Card, 1993
297	Qué.	4	Pontiac	S1E	2683 ± 1	Pb/Pb	diss.	zircons sédimentation < 2683 Ma	Mortensen & Card, 1993
298	Qué.	5	Lac des Quinze	M1(I1D)	2695 ± 1	U-Pb	diss.	zircons	Mortensen & Card, 1993
298	Qué.	5	Lac des Quinze	M1(I1D)	2673 ± 4	Pb/Pb	diss.	titanites, post déformation et métá.	Mortensen & Card, 1993
299	Qué.	6	Lac Rémigny	I2C	2680 ± 1	U-Pb	diss.	zircons	Mortensen & Card, 1993
299	Qué.	6	Lac Rémigny	I2C	2676 ± 2	Pb/Pb	diss.	titanites	Mortensen & Card, 1993
300	Qué.	7	Lac Fréchette	I2C	2681 ± 2	U-Pb	diss.	zircons	Mortensen & Card, 1993
301	Qué.	8	Lac Fréchette	I2C	2688 ± 8	U-Pb	diss.	zircons	Mortensen & Card, 1993
301	Qué.	8	Lac Fréchette	I2C	2685 ± 3	U-Pb	diss.	zircons, en supprimant 2 points	Mortensen & Card, 1993
302	Qué.	9	Decelles	pegmatite	2668	Pb/Pb	diss.	zircons	Mortensen & Card, 1993
303	Qué.	10	Decelles	pegmatite	2663 ± 1	Pb/Pb	diss.	monazites	Mortensen & Card, 1993
304	Qué.	PT-91-2	Lac Laperrière	I2H	2674	Pb/Pb	diss.	zircons	Machado et al., 1992
304	Qué.	PT-91-2	Lac Laperrière	I2H	2661	Pb/Pb	diss.	zircons	Machado et al., 1992
304	Qué.	PT-91-2	Lac Laperrière	I2H	2625 ± 6	U-Pb	diss.	titanite, âge d'un métamorphisme archéen	Machado et al., 1992
304	Qué.	PT-91-2	Lac Laperrière	I2H	2633	Pb/Pb	diss.	monazite, métamorphisme archéen	Machado et al., 1992
304	Qué.	PT-91-2	Lac Laperrière	I2H	2682	U-Pb	diss.	zircons, concordia, estimation âge de	Machado et al., 1992
304	Qué.	PT-91-2	Lac Laperrière	I2H				cristallisation	Machado et al., 1992
305	Qué.	PT-91-3	Tabaret	I1D	2680	Pb/Pb	diss.	zircons	Machado et al., 1992
305	Qué.	PT-91-3	Tabaret	I1D	2663	Pb/Pb	diss.	zircons	Machado et al., 1992
305	Qué.	PT-91-3	Tabaret	I1D	2657	Pb/Pb	diss.	zircons	Machado et al., 1992
305	Qué.	PT-91-3	Tabaret	I1D	2697 +7/-5	U-Pb	diss.	zircons, discordia, âge de cristallisation	Machado et al., 1992
306	Qué.	PT-91-4	Tabaret	I1D	2465	Pb/Pb	diss.	titanite, âge d'un métamorphisme	Machado et al., 1992
306	Qué.	PT-91-4	Tabaret	I1D	1140	Pb/Pb	diss.	titanite, âge d'un métamorphisme	Machado et al., 1992

307	Qué.	PT-91-5a	Laniel	I1D	2678	Pb/Pb	diss.	zircon	Machado et al., 1992
307	Qué.	PT-91-5a	Laniel	I1D	2680	Pb/Pb	diss.	zircon	Machado et al., 1992
307	Qué.	PT-91-5a	Laniel	I1D	2682	Pb/Pb	diss.	zircon	Machado et al., 1992
307	Qué.	PT-91-5b	Laniel	I1B	2608	Pb-Pb	diss.	monazite, âge minimum	Machado et al., 1992
307	Qué.	PT-91-5	Laniel	I1D	2688 \pm 3	U-Pb	diss.	zircons et monazites, discordia combinée	Machado et al., 1992
308	Qué.	PT-89-9	Suite méta. d'Allemand	pegmatite	2639 \pm 3	U-Pb	diss.	titanite, âge d'un métamorphisme	Machado et al., 1992
309	Qué.	Parautochtone Grenville		M1(I1D)	2639	U-Pb	diss.	titanites, résumé de conférence	Parent et al., 1994
310	Qué.	Parautochtone Grenville		M1(I1D)	1012	U-Pb	diss.	titanites, résumé de conférence	Parent et al., 1994
311	Qué.	Parautochtone Grenville		M1(I1D)	1018 \pm 10	Pb/Pb	diss.	titanites, résumé de conférence	Parent et al., 1994
								non localisé sur la carte, au sud du 47°	
312	Ont.	88RME-522a	Ingall Lake	I1C	1950 \pm 25	Ar/Ar	laser	biotite, âge intégré	Smith et al., 1994
312	Ont.	88RME-522b	Ingall Lake	I1C	1712 \pm 5	Ar/Ar	laser	biotite, âge intégré	Smith et al., 1994
312	Ont.	88RME-522	Ingall Lake	I1C	2751 \pm 3	Ar/Ar	laser	amphibole, âge intégré; 2729 \pm 3 (plateau)	Smith et al., 1994
313	Ont.	88RME-525a	Ingall Lake	I1C	1839 \pm 6	Ar/Ar	laser	biotite, âge intégré	Smith et al., 1994
313	Ont.	88RME-525b	Ingall Lake	I1C	1940 \pm 6	Ar/Ar	laser	biotite, âge intégré	Smith et al., 1994
313	Ont.	88RME-525	Ingall Lake	I1C	2615 \pm 7	Ar/Ar	laser	amphibole, âge intégré; 2650 \pm 7 (plateau)	Smith et al., 1994
314	Ont.	88RME-526a	Ingall Lake	I1C	2168 \pm 7	Ar/Ar	laser	biotite, âge intégré	Smith et al., 1994
314	Ont.	88RME-526b	Ingall Lake	I1C	2338 \pm 7	Ar/Ar	laser	biotite, âge intégré	Smith et al., 1994
315	Ont.	88RME-564a	Ingall Lake	I1C	1847 \pm 6	Ar/Ar	laser	biotite, âge intégré	Smith et al., 1994
315	Ont.	88RME-564b	Ingall Lake	I1C	1748 \pm 5	Ar/Ar	laser	biotite, âge intégré	Smith et al., 1994
315	Ont.	88RME-564	Ingall Lake	I1C	2751 \pm 7	Ar/Ar	laser	amphibole, âge intégré; 2777 \pm 7 (plateau)	Smith et al., 1994
316	Ont.	88RME-536a	Ingall Lake	I1C	1557 \pm 4	Ar/Ar	laser	biotite, âge intégré	Smith et al., 1994
316	Ont.	88RME-536b	Ingall Lake	I1C	1611 \pm 4	Ar/Ar	laser	biotite, âge intégré	Smith et al., 1994
316	Ont.	88RME-536c	Ingall Lake	I1C	1524 \pm 4	Ar/Ar	laser	biotite, âge intégré	Smith et al., 1994
316	Ont.	88RME-536	Ingall Lake	I1C	3164 \pm 6	Ar/Ar	laser	amphibole, âge intégré	Smith et al., 1994
317	Ont.	88RME-552a	au sud du front du Grenville	M1	1260 \pm 4	Ar/Ar	laser	biotite, âge intégré; 1260 \pm 4 (plateau)	Smith et al., 1994
317	Ont.	88RME-552b	au sud du front du Grenville	M1	1180 \pm 3	Ar/Ar	laser	biotite, âge intégré; 1188 \pm 3 (plateau)	Smith et al., 1994
318	Ont.	88RME-553a	au sud du front du Grenville	M1	1332 \pm 2	Ar/Ar	laser	biotite, âge intégré; 1337 \pm 1 (plateau)	Smith et al., 1994
318	Ont.	88RME-553b	au sud du front du Grenville	M1	1335 \pm 4	Ar/Ar	laser	biotite, âge intégré; 1351 \pm 4 (plateau)	Smith et al., 1994
318	Ont.	88RME-553a	au sud du front du Grenville	M1	1331 \pm 2	Ar/Ar	laser	amphibole, âge intégré	Smith et al., 1994
318	Ont.	88RME-553b	au sud du front du Grenville	M1	1498 \pm 5	Ar/Ar	laser	amphibole, âge intégré	Smith et al., 1994
319	Ont.	88RME-541a	au sud du front du Grenville	M1	1116 \pm 1	Ar/Ar	laser	biotite, âge intégré; 1118 \pm 1 (plateau)	Smith et al., 1994
319	Ont.	88RME-541b	au sud du front du Grenville	M1	1107 \pm 4	Ar/Ar	laser	biotite, âge intégré; 1109 \pm 4 (plateau)	Smith et al., 1994
320	Ont.	88RME-542a	au sud du front du Grenville	M1	1007 \pm 4	Ar/Ar	laser	biotite, âge intégré; 1010 \pm 4 (plateau)	Smith et al., 1994
320	Ont.	88RME-542b	au sud du front du Grenville	M1	1105 \pm 4	Ar/Ar	laser	biotite, âge intégré; 1008 \pm 4 (plateau)	Smith et al., 1994
321	Ont.	88RME-547a	au sud du front du Grenville	M1	948 \pm 4	Ar/Ar	laser	biotite, âge intégré; 954 \pm 4 (plateau)	Smith et al., 1994
321	Ont.	88RME-547b	au sud du front du Grenville	M1	947 \pm 4	Ar/Ar	laser	muscovite, âge intégré; 938 \pm 4 (plateau)	Smith et al., 1994
322	Ont.	88RME-543 A	au sud du front du Grenville	M1	944 \pm 4	Ar/Ar	laser	amphibole, âge intégré; 977 \pm 4 (plateau)	Smith et al., 1994
322	Ont.	88RME-543 B	au sud du front du Grenville	M1	967 \pm 5	Ar/Ar	laser	amphibole, âge intégré; 973 \pm 4 (plateau)	Smith et al., 1994
								non localisé sur la carte, au sud du 47°	
323	Ont.	G-5	Red Cedar Lake	I2G	2647 \pm 12	U-Pb	diss.	zircons, recalculées par Smith et al., 1994	Steiger & Wasserburg, 1969
323	Ont.	G-5	Red Cedar Lake					âge d'un métamorphisme archéen	Steiger & Wasserburg, 1969
								non localisé sur la carte, au sud du 47°	
324	Ont.		Red Cedar Lake	pegmatite	2642 \pm 2	U-Pb	diss.	zircons, âge d'un métamorphisme archéen	Krogh, 1989

324	Ont.		Red Cedar Lake	pegmatite	992 ± 4	U-Pb	diss.	zircons, inter. inf., âge du méta. grenvillien	Krogh, 1989
325	Qué.		Terrain du lac Témiscamingue	I1D	2677 ± 3	U-Pb	diss.	zircons	Girard & Moorhead, 1993
326	Qué.		Complexe d'Attic	M1(I1D)	2669 ± 4	U-Pb	diss.	zircons	Girard & Moorhead, 1993
327	Qué.		Complexe de Serpent	diatexites	2664	U-Pb	diss.	zircons, âge minimum	Girard & Moorhead, 1993
328	Qué.		Bibeault	I2D	2654	U-Pb	diss.	zircons, âge minimum	Girard & Moorhead, 1993
329	Qué.		Terrain du lac Témiscamingue	pegmatite	2603 ± 5	U-Pb	diss.	zircons, âge du métamorphisme	Girard & Moorhead, 1993
330	Qué.	Zr 2	Parautochtone grenvillien	M1,QZ,FP	2620 ± 2	U-Pb	diss.	zircons	Joly, 1991
331	Qué.	MJ-02	Parautochtone grenvillien	M16,GR(I3B)	800 ± 52	Rb-Sr	diss.		Joly, 1991
332	Qué.	MJ-02	Parautochtone grenvillien	M16,GR(I3B)	1753 ± 52	Srn-Nd	diss.		Joly, 1991
333	Qué.		X terrane	M8,QZ,FP	2652 +9/-4	U-Pb	diss.	une monazite, résumé de conférence	Philippe et al., 1990
334	Qué.		X terrane	M1,QZ,FP	2633 +16/-9	U-Pb	diss.	une monazite, résumé de conférence	Philippe et al., 1990
334	Qué.		X terrane	M1,QZ,FP	1011	Pb/Pb	diss.	une monazite, résumé de conférence	Philippe et al., 1990
335	Qué.		X terrane	M1,QZ,FP	2646-2658	Pb/Pb	diss.	monazites, résumé de conférence	Philippe et al., 1990
336	Qué.		X terrane	M1(charnock.)	2665 ± 7	U-Pb	diss.	monazites, résumé de conférence	Philippe et al., 1990
336	Qué.		X terrane	M1(charnock.)	1006	Pb/Pb	diss.	monazites, résumé de conférence	Philippe et al., 1990
337	Qué.		X terrane	M22	2651-2665	U-Pb	diss.	monazites, résumé de conférence	Philippe et al., 1990
338	Qué.		Migmatite recoupant la foliation	M22	2646-2665	U-Pb	diss.	monazites, résumé de conférence	Philippe et al., 1990
339	Qué.	F-3	Réervoir Dozois	M4	1004 ± 3	U-Pb	diss.	monazites et xénotime	Childe et al., 1993
340	Qué.	F-4	Réervoir Dozois	M4	2596 ± 3	U-Pb	diss.	monazite, intersection sup.	Childe et al., 1993
340	Qué.	F-4	Réervoir Dozois	M4	1008 ± 3	U-Pb	diss.	monazite, intersection inf.	Childe et al., 1993
340	Qué.	F-4	Réervoir Dozois	M4	1005 ± 7	U-Pb	diss.	monazites	Childe et al., 1993
340	Qué.	F-4	Réervoir Dozois	M4	2618 ± 5	Pb/Pb	diss.	monazites	Childe et al., 1993
341	Qué.	F-5	Réervoir Dozois	M4	1000 ± 8	Pb/Pb	diss.	monazites	Childe et al., 1993
342	Qué.	F-6	Réervoir Dozois	M4	1006 ± 2	Pb/Pb	diss.	monazites	Childe et al., 1993
343	Qué.	F-8	Granite recoupant les métased.	I1B	997 ± 2	U-Pb	diss.	monazites	Childe et al., 1993
343	Qué.	F-8	Granite recoupant les métased.	I1B	994 ± 2	U-Pb	diss.	monazites	Childe et al., 1993
343	Qué.	F-8	Granite recoupant les métased.	I1B	995 ± 2	U-Pb	diss.	monazites	Childe et al., 1993
343	Qué.	F-8	Granite recoupant les métased.	I1B	998 ± 40	Pb/Pb	diss.	isochrone, plusieurs minéraux	Childe et al., 1993
344	Qué.	F-9	Réervoir Dozois	M4	1020 ± 3	U-Pb	diss.	monazites	Childe et al., 1993
344	Qué.	F-9	Réervoir Dozois	M4	1005 ± 2	U-Pb	diss.	monazites	Childe et al., 1993
345	Qué.	2c	Cisaillage Cadgecrib	pegmatite	996 +10/-5	U-Pb	diss.	zircons	Martignole & Friedman, 1993
346	Qué.	2a	Réervoir Dozois	pegmatite	985-997	U-Pb	diss.	zircons	Martignole & Friedman, 1993
346	Qué.	2b	Réervoir Dozois	pegmatite	988 +21/-25	U-Pb	diss.	zircons, intersection inf.	Martignole & Friedman, 1993
346	Qué.	2b	Réervoir Cabonga	pegmatite	1564 +54/-49	U-Pb	diss.	zircons, intersection sup.	Martignole & Friedman, 1993
347	Qué.	2a	Réervoir Cabonga	M10	1145-1180	U-Pb	diss.	monazites	Friedman & Martignole, 1993
347	Qué.	2a	Réervoir Cabonga	M10	1140-1160	U-Pb	diss.	zircons	Friedman & Martignole, 1993
347	Qué.	2a	Réervoir Cabonga	M10	952-956	U-Pb	diss.	rutiles	Friedman & Martignole, 1993
348	Qué.		Mine Copper Rand	zone d'alt.	2694 ± 4	U-Pb	diss.	rutiles hydrother. (métamorphisme et déf.)	Schandl, 1991
348	Qué.		Mine Copper Rand	zone d'alt.	2200	Pb/Pb	diss.	rutiles hydrothermaux (minéralisation)	Schandl, 1991
349	Qué.		Flavrian	I1 et V1	2632 ± 36	Pb/Pb	diss.	sur l'ensemble de l'éch. et plusieurs éch.	Vervoort et al., 1993

350	Qué.	Séquence des Mines	V1 et min.	2638 ± 14	Pb/Pb	diss.	sur l'ensemble de l'éch. et plusieurs éch.	Vervoort et al., 1993
351	Qué.	Rivière Bell et Wabassee	I1H et V3B	2647 ± 14	Pb/Pb	diss.	sur l'ensemble de l'éch. et plusieurs éch.	Vervoort et al., 1993
352	Qué.	Matagami et tuffite K	V1B[PO] et S11	2584 ± 20	Pb/Pb	diss.	sur l'ensemble de l'éch. et plusieurs éch.	Vervoort et al., 1993
353	Qué.	Essaim de Senneterre	I3B	2214 ± 12	Pb/Pb	diss.	baddeleyite	Buchan et al., 1993
354	Ont.	dykes de Biscotasing	I3B	2167 ± 1	U-Pb	diss.	baddeleyite et zircon	Buchan et al., 1993
355	Ont.	Nipissing (Kerns Mountain)	I3B	2217 ± 4	U-Pb	diss.	baddeleyite	Noble & Lightfoot, 1992
356	Ont.	Nipissing (Triangle Mountain)	I3B	2210 ± 4	U-Pb	diss.	baddeleyite	Noble & Lightfoot, 1992
357	Ont.	Nipissing (mine Castle)	I3B	2219 ± 4	U-Pb	diss.	baddeleyite et rutile	Corfu & Andrews, 1986
358	Ont.	Abitibi Great Dyke	I3B	1141 ± 2	U-Pb	diss.	baddeleyite et zircon	Krogh et al., 1987
359	Qué.	GSC 93-62	Lamprophyre (spessartite)	I3O	1025 ± 18	K-Ar	biotite, éch. de Birkett	Hunt & Roddick, 1993
360	Ont.	Essaim de l'Abitibi	I3B	2150 ± 25	Ar-Ar	chauf.		Hanes & York, 1979
361	Qué.	Le Tac (lac Bachelor)	I3O	1100	K-Ar			Watson, 1967
362	Qué.	Pontiac (Val-d'Or)	S1	2686 ± 3	U-Pb	diss.	sur un zircon, sédimentation < 2686 Ma	Davis, 1992
363	Qué.	Pontiac (Joannès)	S1	2698 ± 3	U-Pb	diss.	sur un zircon, sédimentation < 2698 Ma	Davis, 1992
364	Qué.	Pontiac (Beaudry)	S1	2696 ± 3	U-Pb	diss.	sur un zircon, sédimentation < 2696 Ma	Davis, 1992
364	Qué.	Pontiac (Beaudry)	S1	2980	U-Pb	diss.	sur un zircon, sédimentation < 2980 Ma	Davis, 1992
364	Qué.	Pontiac (Beaudry)	S1	3029	U-Pb	diss.	sur un zircon, sédimentation < 3029 Ma	Davis, 1992
365	Qué.	Cadillac (sud de mine Laronde)	S1	2688 ± 3	U-Pb	diss.	sur un zircon, sédimentation < 2688 Ma	Davis, 1992
366	Qué.	Mines Selbaie	V1B[PP]QZ,SR+	2729 ± 3	U-Pb	diss.	zircon, post minéralisation stratiforme	Barrie & Krogh, 1994
367	Qué.	Mines Selbaie	I1	2726 ± 3	U-Pb	diss.	zircon, dike recoupant la min. épithermale	Barrie & Krogh, 1994
368	Qué.	Brouillan	I1C[CS],CL+	2729 ± 4	Pb/Pb	diss.	zircons, âge minimum	Barrie & Krogh, 1994
369	Qué.	Dolodau	I4Q	2677	Pb/Pb	diss.	apatites	Tilton & Bell, 1994
370	Qué.	Mine du lac Shortt	I4Q	2661	Pb/Pb	diss.	apatites	Tilton & Bell, 1994

No	Longitude ouest			Latitude nord			zone	UTM est	UTM nord	zone	UTM est	UTM nord	
	deg	min	sec	deg	min	sec							
1	Qué.	79	2	13,29	48	19	10,31	17	645524	5353459	17	645524	5353459
2	Qué.	79	2	13,29	48	19	10,31	17	645524	5353459	17	645524	5353459
3	Qué.	74	20	16,18	49	51	26,09	18	547598	5522750	17	978715	5543860
4	Ont.	79	59	47,89	48	32	53,48	17	574052	5377499	17	574052	5377499
5	Ont.	79	33	41,89	48	16	57,76	17	606710	5348504	17	606710	5348504
6	Ont.	79	33	39,44	48	20	34,57	17	606635	5355199	17	606635	5355199
7	Ont.	79	34	9,88	48	20	17,85	17	606018	5354671	17	606018	5354671
8	Ont.	81	9	56,92	48	28	17,89	17	487744	5368517	17	487744	5368517
9	Ont.	79	54	6,04	48	0	36,28	17	581916	5317785	17	581916	5317785
10	Ont.	80	33	44,56	48	29	48,08	17	532331	5371381	17	532331	5371381
11	Ont.	79	57	19,81	48	23	56,43	17	577314	5360958	17	577314	5360958
12	Qué.	75	8	52,75	49	45	15,34	18	489340	5511100	17	921423	5527543
13	Qué.	74	23	1,29	49	42	56,90	18	544430	5506997	17	976813	5527859
14	Qué.	74	21	8,13	49	46	58,41	18	546632	5514474	17	978414	5535510
15	Qué.	76	9	53,78	49	29	32,68	18	415635	5482630	17	850098	5493222
16	Qué.	76	9	53,78	49	29	32,68	18	415635	5482630	17	850098	5493222
17	Qué.	74	7	0,73	49	45	47,82	18	563603	5512467	17	995543	5534866
18	Qué.	74	24	34,16	49	56	40,11	18	542370	5532405	17	972713	5553090
19	Qué.	74	51	32,21	49	47	11,88	18	510154	5514699	17	941937	5532807
20	Qué.	74	51	32,21	49	47	11,88	18	510154	5514699	17	941937	5532807
21	Qué.	74	18	26,23	49	57	32,95	18	549688	5534100	17	979892	5555373
22	Qué.	75	52	4,50	49	36	48,55	18	437300	5495800	17	870674	5508099
23	Qué.	75	52	4,50	49	36	48,55	18	437300	5495800	17	870674	5508099
24	Qué.	76	8	24,28	49	29	28,92	18	417433	5482487	17	851905	5493222
25	Qué.	76	8	24,28	49	29	28,92	18	417433	5482487	17	851905	5493222
26	Qué.	76	8	24,28	49	29	28,92	18	417433	5482487	17	851905	5493222
27	Qué.	74	26	44,18	49	29	8,91	18	540155	5481392	17	974589	5501923
28	Qué.	74	26	44,18	49	29	8,91	18	540155	5481392	17	974589	5501923
29	Qué.	74	21	25,09	49	56	43,15	18	546138	5532530	17	976469	5553518
30	Qué.	74	49	19,58	49	46	25,52	18	512809	5513272	17	944705	5531595
31	Qué.	74	51	32,21	49	47	11,88	18	510154	5514699	17	941937	5532807
32	Qué.	74	51	32,21	49	47	11,88	18	510154	5514699	17	941937	5532807
33	Qué.	74	51	32,21	49	47	11,88	18	510154	5514699	17	941937	5532807
34	Qué.	74	51	32,21	49	47	11,88	18	510154	5514699	17	941937	5532807
35	Qué.	74	51	32,21	49	47	11,88	18	510154	5514699	17	941937	5532807
36	Qué.	74	51	32,21	49	47	11,88	18	510154	5514699	17	941937	5532807
37	Qué.	74	12	21,22	49	54	9,21	18	557028	5527880	17	987730	5549746
38	Qué.	74	12	21,22	49	54	9,21	18	557028	5527880	17	987730	5549746
39	Qué.	74	33	9,66	49	46	5,58	18	532213	5512738	17	964140	5532617
40	Qué.	74	33	9,66	49	46	5,58	18	532213	5512738	17	964140	5532617
41	Qué.	74	48	18,35	49	46	24,54	18	514034	5513245	17	945931	5531666
42	Qué.	74	48	18,35	49	46	24,54	18	514034	5513245	17	945931	5531666
43	Qué.	75	5	19,33	49	55	36,62	18	493633	5530281	17	924179	5547049
44	Qué.	75	2	32,33	49	54	18,69	18	496962	5527871	17	927698	5544909
45	Qué.	75	30	46,50	49	32	21,74	18	462890	5487326	17	896909	5501680
46	Qué.	75	35	23,81	49	33	44,22	18	457336	5489913	17	891156	5503821
47	Qué.	77	59	48,64	48	24	57,81	18	278257	5366666	17	722210	5366684
48	Qué.	78	24	0,76	48	20	34,90	17	692642	5357475	17	692642	5357475
49	Qué.	74	59	15,03	49	51	1,95	18	500898	5521794	17	932119	5539154
50	Qué.	74	59	15,03	49	51	1,95	18	500898	5521794	17	932119	5539154
51	Qué.	74	0	23,34	50	10	44,58	18	570939	5558792	17	999148	5581770
52	Qué.	74	0	22,68	50	10	44,22	18	570952	5558781	17	999162	5581760
53	Qué.	79	2	54,63	48	20	35,20	17	644606	5356058	17	644606	5356058
54	Qué.	76	21	30,65	49	42	54,95	18	402064	5507640	17	834555	5517102
55	Qué.	76	21	30,65	49	42	54,95	18	402064	5507640	17	834555	5517102

56	Qué.	74	48	25,75	49	51	58,06	18	513860	5523545	17	944930	5541944
57	Qué.	76	52	49,98	49	17	4,53	18	363236	5460576	17	799559	5467043
58	Qué.	78	34	13,60	48	38	48,40	17	678956	5390821	17	678956	5390821
59	Ont.	79	56	20,50	48	28	40,39	17	578412	5369742	17	578412	5369742
60	Ont.	80	8	25,87	48	10	56,26	17	563889	5336700	17	563889	5336700
61	Ont.	80	27	59,34	48	8	34,57	17	539689	5332106	17	539689	5332106
62	Ont.	80	36	10,56	48	18	45,34	17	529441	5350902	17	529441	5350902
63	Ont.	80	41	39,07	48	6	7,18	17	522768	5327463	17	522768	5327463
64	Ont.	81	19	46,84	48	16	9,35	17	475535	5346062	17	475535	5346062
65	Qué.	74	6	9,29	49	46	0,44	18	564628	5512869	17	996535	5535350
66	Qué.	74	7	27,51	49	45	28,05	18	563075	5511850	17	995064	5534207
67	Qué.	74	30	48,58	49	39	34,02	18	535113	5500662	17	968007	5520781
68	Qué.	74	53	21,30	49	30	38,12	18	508018	5484005	17	942259	5501967
69	Qué.	74	55	6,62	49	29	34,50	18	505902	5482037	17	940302	5499832
70	Qué.	74	7	35,10	49	46	24,49	18	562902	5513592	17	994752	5535934
71	Qué.	74	8	50,56	49	45	33,00	18	561411	5511984	17	993390	5534207
72	Qué.	79	2	0,94	48	19	43,62	17	645752	5354494	17	645752	5354494
73	Qué.	74	7	18,68	50	1	17,38	18	562908	5541171	17	992539	5563506
74	Qué.	74	18	18,79	49	57	19,29	18	549840	5533680	17	980078	5554965
75	Qué.	75	52	22,65	49	45	57,55	18	437133	5512759	17	869154	5525018
76	Qué.	74	35	56,31	49	39	3,02	18	528949	5499669	17	961925	5519294
77	Qué.	77	42	1,26	49	44	6,05	18	305418	5512450	17	737760	5514177
78	Qué.	77	36	11,29	49	46	33,76	18	312580	5516764	17	744557	5519050
79	Qué.	77	36	46,07	49	46	1,91	18	311850	5515804	17	743906	5518035
80	Qué.	78	20	11,35	49	27	24,46	17	693024	5481429	17	693024	5481429
81	Qué.	77	37	25,70	49	45	50,72	18	311046	5515487	17	743129	5517654
82	Qué.	77	33	37,94	49	45	8,42	18	315557	5514023	17	747744	5516555
83	Qué.	77	36	45,73	49	47	19,14	18	311940	5518189	17	743805	5520420
84	Qué.	77	46	48,58	49	44	26,52	18	299691	5513292	17	731983	5514559
85	Ont.	79	56	26,98	48	0	34,27	17	578997	5317682	17	578997	5317682
86	Qué.	79	21	28,72	49	0	9,46	17	620097	5428828	17	620097	5428828
87	Qué.	79	21	30,46	48	37	55,40	17	620950	5387636	17	620950	5387636
88	Qué.	79	17	14,47	48	16	54,91	17	627060	5348834	17	627060	5348834
89	Qué.	78	50	52,61	48	21	50,09	17	659402	5358768	17	659402	5358768
90	Qué.	79	10	58,99	48	16	36,65	17	634811	5348448	17	634811	5348448
91	Qué.	79	7	37,85	48	16	42,52	17	638952	5348729	17	638952	5348729
92	Qué.	78	49	6,76	48	17	37,00	17	661802	5351016	17	661802	5351016
93	Qué.	79	21	26,91	49	0	12,13	17	620132	5428911	17	620132	5428911
94	Qué.	79	30	11,01	48	57	12,20	17	609594	5423135	17	609594	5423135
95	Qué.	79	30	14,27	48	41	40,99	17	610093	5394381	17	610093	5394381
96	Qué.	79	8	31,95	48	43	50,47	17	636616	5398964	17	636616	5398964
97	Ont.	80	0	41,04	47	57	28,41	17	573807	5311874	17	573807	5311874
98	Ont.	80	17	8,72	47	51	1,11	17	553435	5299691	17	553435	5299691
99	Qué.	78	52	5,66	48	25	6,73	17	657730	5364797	17	657730	5364797
100	Ont.	79	46	41,49	47	59	1,77	17	591172	5315006	17	591172	5315006
101	Qué.	75	20	29,01	49	41	43,13	18	475378	5504592	17	908003	5519924
102	Qué.	75	22	46,80	49	40	41,22	18	472608	5502694	17	905388	5517806
103	Ont.	79	42	25,93	50	1	29,41	17	592605	5541974	17	592605	5541974
104	Ont.	81	14	10,50	48	8	2,30	17	482422	5330999	17	482422	5330999
105	Ont.	81	8	23,55	48	15	32,75	17	489618	5344889	17	489618	5344889
106	Ont.	81	14	29,00	48	29	12,89	17	482163	5370230	17	482163	5370230
107	Ont.	81	15	57,73	48	24	26,90	17	480311	5361406	17	480311	5361406
108	Ont.	80	52	38,47	48	30	29,09	17	509059	5372562	17	509059	5372562
109	Ont.	80	20	34,50	48	35	36,79	17	548452	5382264	17	548452	5382264
110	Ont.	79	41	54,60	48	0	52,38	17	597061	5318518	17	597061	5318518
111	Ont.	79	47	31,80	47	59	41,37	17	590110	5316212	17	590110	5316212
112	Ont.	81	15	7,37	48	27	29,55	17	481365	5367042	17	481365	5367042
113	Ont.	81	14	16,93	48	27	31,25	17	482401	5367091	17	482401	5367091

114	Ont.	81	18	17,11	48	28	42,09	17	477477	5369296	17	477477	5369296
115	Ont.	81	18	58,56	48	28	1,92	17	476621	5368059	17	476621	5368059
116	Ont.	81	18	58,56	48	28	1,92	17	476621	5368059	17	476621	5368059
117	Ont.	81	18	17,11	48	28	42,09	17	477477	5369296	17	477477	5369296
118	Ont.	79	56	53,36	48	29	2,74	17	577728	5370423	17	577728	5370423
119	Ont.	80	2	7,93	48	4	32,94	17	571841	5324958	17	571841	5324958
120	Ont.	81	34	25,51	48	22	49,87	17	457515	5358535	17	457515	5358535
121	Qué.	78	59	49,24	48	6	11,81	17	649117	5329501	17	649117	5329501
122	Qué.	78	56	0,40	48	0	48,50	17	654117	5319645	17	654117	5319645
123	Qué.	79	16	21,67	47	47	37,19	17	629365	5294593	17	629365	5294593
124	Qué.	79	3	25,17	47	44	0,05	17	645687	5288273	17	645687	5288273
125	Qué.	79	8	18,69	47	31	46,01	17	640118	5265463	17	640118	5265463
126	Qué.	78	7	37,50	47	32	48,27	17	716176	5269706	17	716176	5269706
127	Qué.	78	14	30,57	47	35	30,29	17	707365	5274394	17	707365	5274394
128	Qué.	78	17	15,00	47	30	19,19	17	704267	5264670	17	704267	5264670
129	Qué.	78	23	2,52	47	32	57,59	17	696833	5269310	17	696833	5269310
130	Qué.	79	4	49,09	47	24	57,14	17	644812	5252948	17	644812	5252948
131	Qué.	79	21	8,28	47	11	1,14	17	624840	5226671	17	624840	5226671
132	Qué.	79	22	9,44	47	12	27,94	17	623497	5229323	17	623497	5229323
133	Qué.	78	7	47,53	48	24	48,41	17	712379	5366016	17	712379	5366016
134	Ont.	79	48	31,42	47	5	1,21	17	590428	5214932	17	590428	5214932
135	Ont.	79	50	25,68	47	0	44,77	17	588136	5206980	17	588136	5206980
136	Ont.	79	48	6,00	47	2	48,09	17	591027	5210831	17	591027	5210831
137	Qué.	79	2	14,03	48	29	21,75	17	645025	5372336	17	645025	5372336
138	Qué.	79	12	51,06	48	30	21,00	17	631908	5373845	17	631908	5373845
139	Qué.	78	58	32,44	48	28	28,68	17	649616	5370816	17	649616	5370816
140	Qué.	79	21	28,72	49	0	9,46	17	620097	5428828	17	620097	5428828
141	Qué.	79	18	26,06	49	4	15,84	17	623638	5436517	17	623638	5436517
142	Qué.	77	34	29,25	48	5	31,73	18	308275	5329530	17	755042	5332000
143	Qué.	77	46	3,00	48	5	45,96	18	293943	5330468	17	740676	5331818
144	Qué.	77	46	44,00	48	7	20,41	18	293200	5333414	17	739706	5334698
145	Qué.	77	46	3,00	48	5	45,96	18	293943	5330468	17	740676	5331818
146	Qué.	77	34	29,25	48	5	31,73	18	308275	5329530	17	755042	5332000
147	Qué.	77	46	2,63	48	5	51,84	18	293957	5330649	17	740676	5332000
148	Qué.	77	46	2,63	48	5	51,84	18	293957	5330649	17	740676	5332000
149	Qué.	77	46	2,63	48	5	51,84	18	293957	5330649	17	740676	5332000
150	Qué.	77	46	2,63	48	5	51,84	18	293957	5330649	17	740676	5332000
151	Qué.	77	46	2,63	48	5	51,84	18	293957	5330649	17	740676	5332000
152	Qué.	77	46	2,63	48	5	51,84	18	293957	5330649	17	740676	5332000
153	Qué.	77	46	2,63	48	5	51,84	18	293957	5330649	17	740676	5332000
154	Ont.	81	12	56,70	48	30	37,79	17	484065	5372846	17	484065	5372846
155	Qué.	77	46	2,63	48	5	51,84	18	293957	5330649	17	740676	5332000
156	Qué.	77	46	2,63	48	5	51,84	18	293957	5330649	17	740676	5332000
157	Qué.	77	33	47,12	48	8	38,92	18	309339	5335280	17	755655	5337817
158	Qué.	77	59	19,97	48	8	56,79	18	277690	5336975	17	723964	5337040
159	Qué.	77	33	47,12	48	8	38,92	18	309339	5335280	17	755655	5337817
160	Qué.	78	2	37,40	48	9	5,55	17	719875	5337152	17	719875	5337152
161	Qué.	78	2	37,40	48	9	5,55	17	719875	5337152	17	719875	5337152
162	Qué.	78	2	37,40	48	9	5,55	17	719875	5337152	17	719875	5337152
163	Qué.	78	2	37,40	48	9	5,55	17	719875	5337152	17	719875	5337152
164	Qué.	78	2	37,40	48	9	5,55	17	719875	5337152	17	719875	5337152
165	Qué.	78	2	37,40	48	9	5,55	17	719875	5337152	17	719875	5337152
166	Qué.	78	2	37,40	48	9	5,55	17	719875	5337152	17	719875	5337152
167	Qué.	78	2	37,40	48	9	5,55	17	719875	5337152	17	719875	5337152
168	Qué.	78	2	37,40	48	9	5,55	17	719875	5337152	17	719875	5337152
169	Qué.	78	2	37,40	48	9	5,55	17	719875	5337152	17	719875	5337152
170	Qué.	78	2	37,40	48	9	5,55	17	719875	5337152	17	719875	5337152
171	Qué.	77	55	14,06	48	7	23,97	18	282661	5333915	17	729159	5334376

172	Qué.	77	55	14,06	48	7	23,97	18	282661	5333915	17	729159	5334376
173	Qué.	77	55	19,42	48	8	54,82	18	282657	5336723	17	728936	5337176
174	Qué.	77	41	23,60	48	7	42,49	18	299847	5333860	17	746299	5335661
175	Qué.	77	32	54,74	48	9	32,29	18	310476	5336892	17	756663	5339513
176	Qué.	77	45	39,42	48	6	8,00	18	294455	5331131	17	741135	5332519
177	Qué.	77	26	1,53	48	5	56,28	18	318800	5329946	17	765507	5333235
178	Qué.	77	26	1,53	48	5	56,28	18	318800	5329946	17	765507	5333235
179	Qué.	77	41	23,60	48	7	42,49	18	299847	5333860	17	746299	5335661
180	Qué.	77	41	23,60	48	7	42,49	18	299847	5333860	17	746299	5335661
181	Qué.	78	28	0,71	48	15	2,02	17	688043	5347033	17	688043	5347033
182	Qué.	78	28	0,71	48	15	2,02	17	688043	5347033	17	688043	5347033
183	Qué.	78	26	32,17	48	15	7,41	17	689863	5347260	17	689863	5347260
184	Ont.	80	4	34,88	48	8	34,61	17	568711	5332382	17	568711	5332382
185	Ont.	79	34	31,16	48	8	22,01	17	605990	5332562	17	605990	5332562
186	Ont.	79	34	31,16	48	8	22,01	17	605990	5332562	17	605990	5332562
187	Ont.	81	18	58,56	48	28	1,92	17	476621	5368059	17	476621	5368059
188	Ont.	81	14	18,84	48	27	32,80	17	482362	5367139	17	482362	5367139
189	Ont.	81	18	58,56	48	28	1,92	17	476621	5368059	17	476621	5368059
190	Ont.	81	18	58,56	48	28	1,92	17	476621	5368059	17	476621	5368059
191	Ont.	81	18	58,56	48	28	1,92	17	476621	5368059	17	476621	5368059
192	Qué.	79	5	0,50	48	15	12,80	17	642264	5346039	17	642264	5346039
193	Qué.	78	38	2,07	48	40	15,85	17	674198	5393374	17	674198	5393374
194	Qué.	78	38	2,07	48	40	15,85	17	674198	5393374	17	674198	5393374
195	Qué.	78	38	2,07	48	40	15,85	17	674198	5393374	17	674198	5393374
196	Qué.	75	52	4,50	49	36	48,55	18	437300	5495800	17	870674	5508099
197	Qué.	74	20	22,76	49	52	16,10	18	547453	5524294	17	978446	5545391
198	Qué.	77	37	33,75	50	50	41,11	18	315124	5635629	17	737519	5637768
199	Qué.	77	37	33,75	50	50	41,11	18	315124	5635629	17	737519	5637768
200	Qué.	77	5	4,68	50	18	28,37	18	351558	5574723	17	778777	5579979
201	Qué.	77	37	7,45	50	46	57,86	18	315394	5628716	17	738349	5630898
202	Qué.	77	12	2,54	49	54	21,89	18	341976	5530292	17	772790	5534893
203	Qué.	77	5	15,00	50	13	2,51	18	351072	5564665	17	779102	5569908
204	Qué.	77	32	34,41	50	33	31,81	18	319885	5603637	17	744857	5606257
205	Qué.	77	14	12,57	50	28	25,12	18	341276	5593466	17	767010	5597844
206	Qué.	78	48	50,71	49	16	36,28	17	658995	5460301	17	658995	5460301
207	Qué.	79	16	25,94	49	16	42,81	17	625549	5459637	17	625549	5459637
208	Qué.	79	14	0,13	49	8	15,10	17	628861	5444028	17	628861	5444028
209	Ont.	79	51	52,21	49	6	5,92	17	582886	5439157	17	582886	5439157
210	Ont.	79	51	52,21	49	6	5,92	17	582886	5439157	17	582886	5439157
211	Ont.	80	49	11,32	48	39	40,65	17	513269	5389601	17	513269	5389601
212	Ont.	80	49	11,32	48	39	40,65	17	513269	5389601	17	513269	5389601
213	Ont.	80	49	11,32	48	39	40,65	17	513269	5389601	17	513269	5389601
214	Ont.	80	49	11,32	48	39	40,65	17	513269	5389601	17	513269	5389601
215	Ont.	80	11	58,99	48	35	48,91	17	559007	5382739	17	559007	5382739
216	Ont.	80	11	58,12	48	36	44,35	17	559007	5384451	17	559007	5384451
217	Ont.	80	11	58,12	48	36	44,35	17	559007	5384451	17	559007	5384451
218	Ont.	80	11	58,99	48	35	48,91	17	559007	5382739	17	559007	5382739
219	Ont.	80	11	58,99	48	35	48,91	17	559007	5382739	17	559007	5382739
220	Ont.	80	11	58,99	48	35	48,91	17	559007	5382739	17	559007	5382739
221	Ont.	81	41	19,27	48	27	3,31	17	449075	5366430	17	449075	5366430
222	Ont.	81	34	10,45	48	28	16,90	17	457900	5368630	17	457900	5368630
223	Ont.	81	54	5,94	48	30	39,48	17	433406	5373268	17	433406	5373268
224	Ont.	81	49	54,79	48	33	42,48	17	438620	5378860	17	438620	5378860
225	Ont.	81	21	48,61	48	41	17,06	17	473246	5392626	17	473246	5392626
226	Ont.	81	17	20,59	48	44	11,73	17	478746	5397996	17	478746	5397996
227	Ont.	81	28	35,60	48	43	4,72	17	464946	5395996	17	464946	5395996
228	Ont.	81	21	48,61	48	41	17,06	17	473246	5392626	17	473246	5392626
229	Ont.	81	21	48,61	48	41	17,06	17	473246	5392626	17	473246	5392626

230	Ont.	81	21	48,61	48	41	17,06	17	473246	5392626	17	473246	5392626
231	Ont.	81	21	48,61	48	41	17,06	17	473246	5392626	17	473246	5392626
232	Ont.	81	21	48,61	48	41	17,06	17	473246	5392626	17	473246	5392626
233	Ont.	81	49	54,79	48	33	42,48	17	438620	5378860	17	438620	5378860
234	Ont.	81	54	5,94	48	30	39,48	17	433406	5373268	17	433406	5373268
235	Ont.	81	54	5,94	48	30	39,48	17	433406	5373268	17	433406	5373268
236	Ont.	81	21	48,61	48	41	17,06	17	473246	5392626	17	473246	5392626
237	Ont.	81	21	48,61	48	41	17,06	17	473246	5392626	17	473246	5392626
238	Ont.	81	21	48,61	48	41	17,06	17	473246	5392626	17	473246	5392626
239	Ont.	79	50	21,41	48	32	26,39	17	585678	5376827	17	585678	5376827
240	Ont.	79	48	9,25	48	9	57,66	17	589038	5335227	17	589038	5335227
241	Ont.	79	48	37,31	48	0	28,79	17	588730	5317655	17	588730	5317655
242	Ont.	79	59	27,03	48	7	41,43	17	575094	5330820	17	575094	5330820
243	Ont.	80	4	25,14	48	7	20,13	17	568940	5330085	17	568940	5330085
244	Ont.	79	55	0,70	48	5	9,69	17	580665	5326210	17	580665	5326210
245	Ont.	79	38	54,35	48	7	28,77	17	600580	5330820	17	600580	5330820
246	Ont.	80	4	35,47	48	8	1,87	17	568711	5331371	17	568711	5331371
247	Ont.	80	4	35,47	48	8	1,87	17	568711	5331371	17	568711	5331371
248	Ont.	80	4	35,47	48	8	1,87	17	568711	5331371	17	568711	5331371
249	Ont.	79	39	50,12	48	3	30,44	17	599555	5323442	17	599555	5323442
250	Ont.	79	39	50,12	48	3	30,44	17	599555	5323442	17	599555	5323442
251	Ont.	79	55	0,54	48	9	41,60	17	580550	5334605	17	580550	5334605
252	Ont.	81	6	50,25	48	31	16,15	17	491585	5374014	17	491585	5374014
253	Ont.	79	42	48,09	48	6	21,84	17	595783	5328671	17	595783	5328671
254	Ont.	79	51	44,46	48	8	47,65	17	584625	5332998	17	584625	5332998
255	Qué.	78	16	21,78	48	27	30,96	17	701631	5370648	17	701631	5370648
256	Qué.	78	22	7,05	48	26	16,38	17	694620	5368097	17	694620	5368097
257	Qué.	79	10	15,80	47	50	38,13	17	636844	5300354	17	636844	5300354
258	Qué.	77	52	38,58	48	15	59,02	18	286471	5349693	17	731726	5350405
259	Qué.	78	12	22,95	47	58	38,68	17	708481	5317348	17	708481	5317348
260	Qué.	78	12	59,25	48	25	29,69	17	705926	5367054	17	705926	5367054
261	Qué.	77	54	11,03	48	22	31,44	18	285024	5361880	17	729331	5362442
262	Qué.	77	52	56,80	48	16	2,59	18	286099	5349818	17	731346	5350500
263	Qué.	79	10	15,80	47	50	38,13	17	636844	5300354	17	636844	5300354
264	Qué.	80	16	48,22	47	52	41,62	17	553832	5302798	17	553832	5302798
265	Qué.	78	12	57,61	48	22	54,37	17	706134	5362260	17	706134	5362260
266	Qué.	78	11	52,98	48	25	36,54	17	707280	5367315	17	707280	5367315
267	Qué.	78	8	54,82	47	45	15,46	17	713711	5292711	17	713711	5292711
268	Qué.	78	17	17,82	47	34	21,97	17	703946	5272162	17	703946	5272162
269	Qué.	78	16	20,70	48	27	31,04	17	701653	5370651	17	701653	5370651
270	Qué.	78	58	13,31	47	30	51,98	17	652819	5264112	17	652819	5264112
271	Qué.	78	56	35,31	48	5	9,10	17	653179	5327671	17	653179	5327671
272	Qué.	78	58	43,39	48	8	30,58	17	650366	5333821	17	650366	5333821
273	Qué.	78	8	54,82	47	45	15,46	17	713711	5292711	17	713711	5292711
274	Qué.	78	8	56,36	47	47	34,18	17	713521	5296992	17	713521	5296992
275	Qué.	78	28	49,86	48	14	44,67	17	687047	5346464	17	687047	5346464
276	Qué.	78	56	31,67	48	6	40,19	17	653179	5330485	17	653179	5330485
277	Qué.	78	48	6,97	48	14	24,43	17	663204	5345106	17	663204	5345106
278	Qué.	78	26	46,62	48	16	3,87	17	689507	5348993	17	689507	5348993
279	Qué.	79	2	27,88	48	11	23,84	17	645591	5339050	17	645591	5339050
280	Qué.	78	54	22,12	48	12	43,51	17	655552	5341774	17	655552	5341774
281	Qué.	79	1	43,98	48	10	46,27	17	646527	5337913	17	646527	5337913
282	Qué.	79	16	20,12	47	57	12,35	17	629000	5312350	17	629000	5312350
283	Qué.	78	40	49,73	47	20	48,67	17	675200	5246100	17	675200	5246100
284	Qué.	78	33	59,27	47	21	22,46	17	683779	5247406	17	683779	5247406
285	Qué.	78	40	20,26	47	41	4,83	17	674693	5283660	17	674693	5283660
286	Qué.	78	23	4,68	47	32	56,57	17	696789	5269277	17	696789	5269277
287	Qué.	78	7	37,50	47	32	48,27	17	716176	5269706	17	716176	5269706

288	Qué.	78	56	45,76	47	21	38,80	17	655101	5247084	17	655101	5247084
289	Qué.	78	43	39,87	47	31	3,31	17	671076	5264968	17	671076	5264968
290	Qué.	79	19	26,72	47	26	17,64	17	626369	5255008	17	626369	5255008
291	Qué.	79	19	26,72	47	26	17,64	17	626369	5255008	17	626369	5255008
292	Qué.	79	19	26,72	47	26	17,64	17	626369	5255008	17	626369	5255008
293	Qué.	79	29	22,82	47	25	30,47	17	613912	5253296	17	613912	5253296
294	Qué.	79	19	29,94	47	33	1,09	17	626033	5267461	17	626033	5267461
295	Qué.	78	36	47,96	47	23	19,07	17	680130	5250896	17	680130	5250896
296	Qué.	78	37	4,29	47	22	53,47	17	679812	5250095	17	679812	5250095
297	Qué.	78	32	23,94	47	34	25,08	17	685014	5271627	17	685014	5271627
298	Qué.	79	9	41,98	47	31	37,09	17	638383	5265146	17	638383	5265146
299	Qué.	79	9	29,94	47	46	43,07	17	637970	5293120	17	637970	5293120
300	Qué.	79	12	27,49	48	0	14,42	17	633694	5318081	17	633694	5318081
301	Qué.	79	12	28,55	47	57	18,88	17	633798	5312661	17	633798	5312661
302	Qué.	78	58	11,51	47	57	7,27	17	651581	5312743	17	651581	5312743
303	Qué.	79	15	2,95	48	0	44,22	17	630452	5318927	17	630452	5318927
304	Qué.	79	9	10,75	47	11	20,35	17	639927	5227602	17	639927	5227602
305	Qué.	79	5	22,09	47	0	51,67	17	645213	5208312	17	645213	5208312
306	Qué.	79	5	22,09	47	0	51,67	17	645213	5208312	17	645213	5208312
307	Qué.	79	17	9,42	47	3	18,77	17	630180	5212507	17	630180	5212507
308	Qué.	78	7	37,50	47	32	48,27	17	716176	5269706	17	716176	5269706
309	Qué.	78	56	15,73	47	11	28,86	17	656229	5228273	17	656229	5228273
310	Qué.	79	3	49,95	47	7	3,69	17	646874	5219843	17	646874	5219843
311	Qué.	79	5	22,09	47	0	51,67	17	645213	5208312	17	645213	5208312
312	Ont.	79	47	59,13	46	58	46,96	17	591286	5203390	17	591286	5203390
313	Ont.	79	45	12,59	46	56	19,14	17	594877	5198882	17	594877	5198882
314	Ont.	79	45	14,23	46	54	56,28	17	594883	5196324	17	594883	5196324
315	Ont.	79	48	33,49	46	54	1,42	17	590694	5194565	17	590694	5194565
316	Ont.	79	47	44,93	46	50	51,91	17	591811	5188731	17	591811	5188731
317	Ont.	79	48	14,04	46	49	2,39	17	591246	5185341	17	591246	5185341
318	Ont.	79	48	17,51	46	46	45,22	17	591237	5181106	17	591237	5181106
319	Ont.	79	48	9,75	46	44	12,81	17	591473	5176404	17	591473	5176404
320	Ont.	79	47	2,80	46	42	29,82	17	592943	5173247	17	592943	5173247
321	Ont.	79	42	40,76	46	39	15,93	17	598605	5167351	17	598605	5167351
322	Ont.	79	38	40,23	46	35	34,17	17	603835	5160592	17	603835	5160592
323	Ont.	80	5	51,02	46	43	9,97	17	568973	5174164	17	568973	5174164
324	Ont.	79	47	26,19	46	43	4,34	17	592430	5174305	17	592430	5174305
325	Qué.	76	17	40,26	48	26	12,54	18	404251	5365443	17	848001	5375337
326	Qué.	76	26	21,63	48	17	26,31	18	393234	5349387	17	838261	5358446
327	Qué.	76	3	34,66	48	25	47,94	18	421614	5364416	17	865417	5375674
328	Qué.	75	36	46,59	48	3	16,03	18	454324	5322315	17	901381	5336188
329	Qué.	76	20	55,58	48	12	32,67	18	399793	5340199	17	845527	5349787
330	Qué.	73	43	59,94	49	23	10,61	18	591932	5470951	17	1027199	5495621
331	Qué.	73	44	58,56	49	25	24,00	18	590682	5475050	17	1025621	5499621
332	Qué.	73	44	58,56	49	25	24,00	18	590682	5475050	17	1025621	5499621
333	Qué.	77	11	18,27	49	35	39,97	18	341849	5495621	17	775434	5500302
334	Qué.	77	18	36,18	47	46	58,67	18	326958	5294543	17	776397	5298555
335	Qué.	77	16	14,87	47	40	36,43	18	329552	5282656	17	779906	5286898
336	Qué.	77	9	8,15	47	34	6,95	18	338115	5270379	17	789399	5275312
337	Qué.	77	9	8,15	47	34	6,95	18	338115	5270379	17	789399	5275312
338	Qué.	77	9	8,15	47	34	6,95	18	338115	5270379	17	789399	5275312
339	Qué.	77	3	1,24	47	25	27,37	18	345358	5254133	17	797880	5259661
340	Qué.	77	1	36,10	47	24	42,01	18	347105	5252686	17	799735	5258352
341	Qué.	76	59	33,47	47	22	23,96	18	349565	5248358	17	802524	5254223
342	Qué.	76	57	54,16	47	21	11,71	18	351592	5246075	17	804722	5252101
343	Qué.	76	52	2,28	47	18	16,54	18	358844	5240486	17	812390	5247082
344	Qué.	76	50	10,78	47	17	16,57	18	361142	5238579	17	814830	5245356
345	Qué.	76	44	6,68	47	14	51,90	18	368690	5233938	17	822721	5241305

346	Qué.	76	34	54,12	47	14	19,94	18	380285	5232704	17	834390	5240966
347	Qué.	76	28	1,89	47	12	17,43	18	388880	5228753	17	843275	5237683
348	Qué.	74	16	26,93	49	53	14,13	18	552143	5526129	17	982987	5547603
349	Qué.	79	9	11,75	48	18	17,91	17	636946	5351627	17	636946	5351627
350	Qué.	79	6	34,22	48	18	55,74	17	640162	5352874	17	640162	5352874
351	Qué.	77	28	38,02	49	45	42,70	18	321592	5514880	17	753694	5517892
352	Qué.	77	40	4,72	49	43	14,52	18	307694	5510776	17	740163	5512689
353	Qué.	77	21	36,01	48	11	23,99	18	324602	5339892	17	770518	5343608
354	Ont.	80	12	36,00	48	36	36,00	17	558234	5384185	17	558234	5384185
355	Ont.	79	50	5,33	47	34	52,22	17	587621	5270190	17	587621	5270190
356	Ont.	79	47	34,79	47	29	40,63	17	590915	5260619	17	590915	5260619
357	Ont.	80	44	10,46	47	40	23,24	17	519800	5279785	17	519800	5279785
358	Ont.	81	34	31,46	48	16	49,04	17	457309	5347395	17	457309	5347395
359	Qué.	75	56	53,42	48	20	26,11	18	429736	5354372	17	874315	5366281
360	Ont.	80	25	34,93	48	32	2,25	17	542348	5375590	17	542348	5375590
361	Qué.	76	9	13,43	49	28	51,66	18	416427	5481351	17	850991	5492008
362	Qué.	77	50	30,02	48	3	6,62	18	288239	5325750	17	735356	5326670
363	Qué.	78	41	21,24	48	13	12,05	17	671639	5343117	17	671639	5343117
364	Qué.	79	9	12,50	48	6	58,27	17	637435	5330644	17	637435	5330644
365	Qué.	78	26	18,82	48	14	27,76	17	690179	5346045	17	690179	5346045
366	Qué.	78	56	47,41	49	48	37,02	17	647746	5519341	17	647746	5519341
367	Qué.	78	56	47,41	49	48	37,02	17	647746	5519341	17	647746	5519341
368	Qué.	78	56	47,41	49	48	37,02	17	647746	5519341	17	647746	5519341
369	Qué.	75	8	52,75	49	45	15,34	18	489340	5511100	17	921423	5527543
370	Qué.	75	52	4,50	49	36	48,55	18	437300	5495800	17	870674	5508099

Tableau III: Distribution temporelle du volcanisme, du magmatisme, de la sédimentation et du métamorphisme des sous-provinces de l'Abitibi et du Pontiac.					
No.	Groupe ou Formation	Âge (Ma)	Préc.	Méthode	Minéraux et remarques
Volcanites de la sous-province de l'Abitibi					
68	Lac des Vents	2759	± 2	Pb/Pb	diss. zircons
85	Pacaud	2747	± 1	Pb/Pb	diss. zircons
85	Pacaud	2746	± 1	Pb/Pb	diss. zircons
65	Waconichi	2730	± 2	U-Pb	diss. zircons
366	Mines Selbaie	2729	± 3	U-Pb	diss. zircon, post minéralisation stratiforme
80	Joutel	2728	± 2	Pb/Pb	diss. zircons, meilleure estimation
86	Normétal	2728	± 2	U-Pb	diss. zircons
104	Upper Deloro	2727	± 2	U-Pb	diss. zircons, éch. N-77-18
8	Upper Deloro-Eldorada	2725	± 1	U-Pb	diss. zircons
88	Lac Watson	2725	± 2	Pb/Pb	diss. zircons
87	Dumagami	2723	± 1	Pb/Pb	diss. zircons
140	Normétal, toit du gisement	2722	± 3	U-Pb	diss. zircons, résumé de conférence
68	Bell	2720	± 1	Pb/Pb	diss. zircons, âge minimum
9	Wabewawa-Catharine	2720	± 2	U-Pb	diss. zircons
139	Kinojévis, au nord de la FPD	2718	± 2	U-Pb	diss. zircons, résumé de conférence
225	Kidd Creek	2717	± 2	U-Pb	diss. zircons + données de Nunes & Pyke (1980)
226	Prosser	2716	± 4	U-Pb	diss. zircon
109	Stoughton-Roquemaure	2714	± 2	U-Pb	diss. zircons
4	Hunter Mine	2713	± 2	U-Pb	diss. zircons, âge raffiné
100	Skead (Larder Lake)	2709	± 2	U-Pb	diss. zircons, Nunes c. pers. ds Jensen (1985)
159	Val-d'Or	2706	± 3	U-Pb	diss. zircons, résumé de conférence
10	Marker Horizon	2706	± 2	U-Pb	diss. zircons
142	Rhyolite de Colombière	2705	± 1	U-Pb	diss. zircon
222	Kamiskotia	2705	± 2	U-Pb	diss. zircons
227	Reid	2705	$+5/-3$	U-Pb	diss. zircon
110	Larder Lake	2705	± 2	U-Pb	diss. zircons
6	Blake River	2703	± 2	U-Pb	diss. zircons
105	Upper Tisdale	2703	$\pm 1,5$	U-Pb	diss. zircons, éch. N-77-16
11	Kinojévis	2701	± 3	U-Pb	diss. zircons
88	Blake River (Four Corners)	2701	± 1	U-Pb	diss. zircons
6	Blake River	2701	± 2	U-Pb	diss. zircons, âge raffiné
111	Skead	2701	± 3	U-Pb	diss. zircons
241	Skead	2701	± 3	U-Pb	diss. zircons, éch. différent de Corfu et al. (1989)
240	Gauthier	2700	± 3	U-Pb	diss. zircons
106	Upper Tisdale	2698	± 4	Pb/Pb	diss. zircons
89	Blake River (Cléricy)	2698	± 1	U-Pb	diss. zircons
Volcanites de la sous-province de Temagami					
136	Temagami, unit E	2736	$+3/-1$	U-Pb	diss. zircons
Volcanites de la sous-province du Pontiac					
295	Belleterre	2690	± 2	Pb/Pb	diss. zircons
132	Angliers-Belleterre	2686	± 2	U-Pb	diss. zircons
294	Angliers	2682	± 1	U-Pb	diss. zircons
Intrusions de la sous-province de Temagami					
135	Temagami, Iceland Lake	2736	± 2	U-Pb	diss. zircons
Intrusions de la sous-province de l'Abitibi					
368	Brouillan	2729	± 4	Pb/Pb	diss. zircons, âge minimum
70	Complexe du Lac Doré	2728	± 1	U-Pb	diss. zircons
206	Pluton de Mistaouac	2727	± 9	Pb/Pb	diss. titanites
71	Complexe du Lac Doré P3	2727	± 1	Pb/Pb	diss. zircons
367	Mines Selbaie	2726	± 3	U-Pb	diss. zircon, dike recoupant la min. épithermale
81	Bell	2725	± 2	U-Pb	diss. zircons
206	Pluton de Mistaouac	2724	± 4	Pb/Pb	diss. titanites
82	Mine Radiore	2721	$+ 9/-5$	U-Pb	diss. baddeleyites
81	Bell	2721	± 2	Pb/Pb	diss. titanites, âge minimum
82	Mine Radiore	2720	± 1	Pb/Pb	diss. zircons, âge minimum
72	Lac La Dauversière	2720	$+3/-1$	U-Pb	diss. zircons
72	Lac La Dauversière	2720	± 1	Pb/Pb	diss. zircons
58	Taschereau	2718	± 2	U-Pb	diss. zircons
51	Renault	2718	± 12	Pb/Pb	diss. plusieurs minéraux
3	Pluton de Chibougamau	2718	± 2	U-Pb	diss. zircons, avec la technique d'abrasion
74	Filon-couche de Bourbeau	2717	± 1	U-Pb	diss. zircons
207	Complexe de Boivin	2714	± 2	U-Pb	diss. zircons

239	Ghost Range		2713	+7/-5	U-Pb	diss.	zircons
179	Bourlamaque		2711	± 12	Pb/Pb	SHRIMP	zircons
141	Pluton au NE de Normétal		2710	± 2	U-Pb	diss.	zircons, résumé de conférence
107	Intrusion dans la Fm. Deloro		2707	± 3	U-Pb	diss.	zircons, éch. N-77-21
221	Complexe de Kamskotia		2707	± 2	U-Pb	diss.	zircons
108	Intrusion mine Aquarius		2705	± 10	U-Pb	diss.	zircons, base de l'unité
143	Diorite de la mine Sigma		2704	± 3	U-Pb	diss.	zircon
208	Pluton de Rousseau		2703	± 3	U-Pb	diss.	zircons
76	Muscocho		2701	± 2	U-Pb	diss.	zircons
83	Lac Olga		2701		Pb/Pb	diss.	zircons
90	Flavrian		2701	+3/-1	Pb/Pb	diss.	zircons
75	Renaud		2700	± 2	U-Pb	diss.	zircons
90	Flavrian		2700	± 2	Pb/Pb	diss.	zircons
144	Bourlamaque		2700	± 1	U-Pb	diss.	zircon
63	Watabeag 3		2699	± 3	U-Pb	diss.	zircons
50	Opemisca		2699	± 45	U-Pb	diss.	titanite
97	Round Lake		2698	± 5	U-Pb	diss.	zircons, âge maximum
2	Pluton du lac Dufault		2698	± 2	U-Pb	diss.	zircons, avec la technique d'abrasion
224	Granitoïde B		2698	± 8	U-Pb	diss.	zircons
56	Opemisca		2697	± 2	U-Pb	diss.	zircons
98	Indian Chute		2697	± 2	U-Pb	diss.	zircons
96	Colombourg		2696	± 3	U-Pb	diss.	zircons
92	Cléry		2696	± 2	U-Pb	diss.	zircons
95	île Nepawa		2695	± 2	U-Pb	diss.	zircons
223	Granitoïde C		2695	± 2	U-Pb	diss.	zircons
173	Snowshoe		2694	± 3	U-Pb	diss.	zircons, résumé de conférence
224	Granitoïde B		2694	± 4	U-Pb	diss.	zircons
83	Lac Olga		2693	± 2	Pb/Pb	diss.	zircons
202	Canet		2693	+4/-2	U-Pb	diss.	zircons et titanites
158	Mine Norlartic, zone principale		2692	± 2	U-Pb	diss.	zircons, résumé de conférence
223	Granitoïde C		2692	± 5	Pb/Pb	diss.	titanites, âge minimum
57	Franquet		2692	± 3	U-Pb	diss.	zircons
93	Lac Dufault		2690	± 2	Pb/Pb	diss.	zircons
93	Lac Dufault		2690	± 2	U-Pb	diss.	zircons
94	Lac Abitibi		2690	± 1	U-Pb	diss.	zircons
7	Blake River - Clarice Lake		2689	± 1	U-Pb	diss.	zircons
120	Lamprophyre de Bristol		2687	± 3	U-Pb	diss.	grenat et titanite
93	Lac Dufault		2686		Pb/Pb	diss.	titanites
171	Dyke interminéralisation, Kiena		2686	± 2	U-Pb	diss.	zircons, résumé de conférence
64	Adams Stock		2686	± 3	U-Pb	diss.	zircons
165	Mine Camflo		2685	+10/-8	U-Pb	diss.	zircons magmatiques+titanites
99	Syénite de Cléry		2684	± 1	U-Pb	diss.	zircons
160	Syénite de la mine Camflo		2683	± 3	Pb/Pb	diss.	zircons, âge maximum
99	Syénite de Cléry		2682	± 3	Pb/Pb	diss.	zircons, meilleure estimation
61	Watabeag 1		2681	± 3	U-Pb	diss.	zircons
138	Beattie		2681	± 1	U-Pb	diss.	zircons, données non publiées, Mortensen
160	Syénite de la mine Camflo		2680	± 4	Pb/Pb	diss.	titanites, régression avec deux points
119	Pluton de Otto		2680	± 1	U-Pb	diss.	zircons et titanites
242	Lebel		2679	+8/-4	U-Pb	diss.	zircon et titanites, résumé de conférence
59	Garrison		2679	± 4	U-Pb	diss.	zircons
118	Pluton de Garrison		2678	± 2	U-Pb	diss.	zircons
60	Winnie Lake		2677	± 2	U-Pb	diss.	zircons
160	Syénite de la mine Camflo		2677	± 2	Pb/Pb	diss.	titanites, âge minimum
209	Granite du lac Case		2677	± 3	U-Pb	diss.	monazites
360	Dolodau		2677		Pb/Pb	diss.	apatites
62	Watabeag 2		2676	± 2	U-Pb	diss.	zircons
258	Lacorne		2675	± 24	Pb/Pb	évap.	zircon
209	Granite du lac Case		2675	± 3	Pb/Pb	diss.	analyse sur une monazite
244	Lamprophyre		2674	± 2	U-Pb	diss.	titanites, localisation (Corfu et al., 1991)
243	Murdock Creek		2673	± 2	Pb/Pb	diss.	zircon et titanites, résumé de conférence
242	Lebel		2673	± 2	Pb/Pb	diss.	zircon et titanites, résumé de conférence
281	Dyke recoupant le Timis.		2673	± 3	U-Pb	diss.	titanite, mine Granada
243	Murdock Creek		2665	± 4	Pb/Pb	diss.	titanites, post cristallisation, durant D1
370	Mine du lac Shortt		2661		Pb/Pb	diss.	apatites
210	Granite du lac Case		2660	± 3	U-Pb	diss.	analyse sur une monazite
260	Lacorne		2643	± 12	Pb/Pb	évap.	zircon
261	Lacorne		2643	± 4	Pb/Pb	évap.	zircon
133	Granite de La Motte, suite H		2641	± 2	U-Pb	diss.	monazite, meilleure estimation
224	Granitoïde B		2640	± 25	U-Pb	diss.	zircons
260	Lacorne		2631	± 20	Pb/Pb	évap.	zircon
55	Waswanipi		2628	± 25	Pb/Pb	diss.	titanite

Porphyres de la sous-province de l'Abitibi						
87	Hunter		2730 ± 1	Pb/Pb	diss.	zircons
66	Waconichi		2728 ± 1	U-Pb	diss.	zircons
103	Detour Lake, dyke minéralisé		2722 ± 3	U-Pb	diss.	zircons
73	Dyke dans la Fm. Gilman		2712 +9/-7	U-Pb	diss.	zircons
84	Dyke recoupant Gr. Wabassee		2703 ± 4	U-Pb	diss.	zircons, âge maximum
5	Blake River		2703 ± 2	U-Pb	diss.	zircons
145	Dyke à la mine Sigma		2694 ± 2	U-Pb	diss.	zircon
116	Porp. Millerton, mine Hollinger		2691 ± 3	U-Pb	diss.	zircons
112	Porphyre de Paymaster		2690 ± 2	U-Pb	diss.	zircons
113	Intr. de Preston, mine Dome		2690	U-Pb	diss.	zircons, âge minimum
114	Porphyre Pearl, mine McIntyre		2689 ± 1	U-Pb	diss.	zircons
137	Porphyre du lac Lanaudière		2689 ± 3	U-Pb	diss.	zircons, données non publiées, Mortensen
117	Dyke d'albitite, mine McIntyre		2689 ± 4	Pb/Pb	diss.	zircons
115	Porphyre Crown, mine Hollinger		2688 ± 2	U-Pb	diss.	zircons
134	Temagami, unit B		2687 ± 2	U-Pb	diss.	zircons
251	Bidgood, recoupant les séd.		2685 ± 3	U-Pb	diss.	zircons, meilleure estimation
247	Timiskaming (Chaput Hugues)		2680 ± 4	U-Pb	diss.	zircons, fragment de I1[PP] dans le S4D
250	Larder Lake, recoupant les séd.		2677 ± 3	U-Pb	diss.	titanites, meilleure estimation
117	Dyke d'albitite, mine McIntyre		2673 +6/-2	U-Pb	diss.	zircons
Intrusions de la sous-province du Pontiac						
130	Tonalite Belleterre-Fugerville		2705 ± 3	U-Pb	diss.	zircons
131	Intrusion de Fabre, suite B		2694 ± 2	U-Pb	diss.	zircons
301	Lac Fréchette		2688 ± 8	U-Pb	diss.	zircons
285	Lac Simard		2686 +4/-3	U-Pb	diss.	zircons
123	Batholite de Rémigny, suite F		2686 ± 3	U-Pb	diss.	excroissances zircons concordantes
301	Lac Fréchette		2685 ± 3	U-Pb	diss.	zircons, en supprimant 2 points
296	Belleterre		2685 ± 1	Pb/Pb	diss.	zircons
123	Batholite de Rémigny, suite F		2684 ± 3	U-Pb	diss.	zircons concordants
123	Batholite de Rémigny, suite F		2682 ± 3	U-Pb	diss.	zircons concordants
301	Lac Fréchette		2681 ± 2	U-Pb	diss.	zircons
299	Lac Rémigny		2680 ± 1	U-Pb	diss.	zircons
123	Batholite de Rémigny, suite F		2679	Pb/Pb	diss.	zircons, âge minimum
284	Lac Maple		2678 +3/-2	U-Pb	diss.	zircons
284	Lac Maple		2678 ± 3	U-Pb	diss.	monazites
299	Lac Rémigny		2676 ± 2	Pb/Pb	diss.	titanites
285	Lac Simard		2675 ± 6	U-Pb	diss.	titanites
258	Pontiac		2675 ± 8	Pb/Pb	évap.	zircon
257	Pontiac		2671 ± 4	Pb/Pb	évap.	zircon
257	Pontiac		2671 ± 8	Pb/Pb	évap.	zircon
283	Tour de Belleterre		2669 ± 3	Pb/Pb	diss.	zircons
302	Decelles		2668	Pb/Pb	diss.	zircons
303	Decelles		2663 ± 1	Pb/Pb	diss.	monazites
128	Decelles, suite H		2658 ± 2	U-Pb	diss.	monazites
259	Pontiac		2655 ± 8	Pb/Pb	évap.	zircon
129	Intrusion de Hallé		2651 ± 2	U-Pb	diss.	monazite, âge de cristallisation
259	Pontiac		2647 ± 8	Pb/Pb	évap.	zircon
259	Pontiac		2643 ± 8	Pb/Pb	évap.	zircon
259	Pontiac		2643 ± 4	Pb/Pb	évap.	zircon
286	Hallé (Decelles)		2632 ± 3	Pb/Pb	diss.	surcroissances de zircons, âge de cristalli.
124	Beaumesnil, suite H		2630	U-Pb	diss.	zircons, âge minimum
Sédiments des sous-provinces de l'Abitibi du Pontiac						
256	Lac Caste		2695 ± 4	Pb/Pb	évap.	zircon, sédimentation < 2695 Ma
255	Lac Caste		2691 ± 8	Pb/Pb	évap.	zircon, sédimentation < 2691 Ma
277	Cadillac (ruis. Davidson)		2688 ± 3	U-Pb	diss.	sur un zircon, sédimentation < 2688 Ma
365	Cadillac (sud de mine Laronde)		2688 ± 3	U-Pb	diss.	sur un zircon, sédimentation < 2688 Ma
278	Kewagama		2687 ± 3	U-Pb	diss.	sur un zircon, sédimentation < 2687 Ma
363	Pontiac (Joannès)		2698 ± 3	U-Pb	diss.	sur un zircon, sédimentation < 2698 Ma
364	Pontiac (Beaudry)		2696 ± 3	U-Pb	diss.	sur un zircon, sédimentation < 2696 Ma
276	Pontiac (Bellecombe)		2694 ± 3	U-Pb	diss.	sur un zircon, sédimentation < 2694 Ma
362	Pontiac (Val-d'Or)		2686 ± 3	U-Pb	diss.	sur un zircon, sédimentation < 2686 Ma
297	Pontiac		2683 ± 1	Pb/Pb	diss.	zircons, sédimentation < 2683 Ma
279	Timiskaming		2679 ± 3	U-Pb	diss.	sur un zircon, sédimentation < 2679 Ma
246	Timiskaming (Chaput Hugues)		2680 ± 3	U-Pb	diss.	zircons, sédimentation < 2680 Ma
280	Timiskaming, Lac LaBruère		2689 ± 3	U-Pb	diss.	sur un zircon, sédimentation < 2689 Ma
249	Larder Lake		2679 ± 3	U-Pb	diss.	zircons, sédimentation < 2679 Ma
252	Mine Parmour		2679 ± 3	U-Pb	diss.	zircons, sédimentation < 2679 Ma

Roches métamorphiques de la sous-province de l'Abitibi					
101	Lapparent		2713 \pm 3	Pb/Pb	diss.
102	Lapparent		2711 \pm 1	Pb/Pb	diss.
Roches métamorphiques de la sous-province du Pontiac					
298	Lac des Quinze		2695 \pm 1	U-Pb	diss.
287	Baie de Lys		2686	Pb/Pb	diss.
125	Lac des Quinze, suite A		2685 \pm 9	U-Pb	diss.
298	Lac des Quinze		2673 \pm 4	Pb/Pb	diss.
326	Complexe d'Attic		2669 \pm 4	U-Pb	diss.
282	Lac Opasatica		2660 \pm 6	U-Pb	diss.
287	Baie de Lys		2648	Pb/Pb	diss.
287	Baie de Lys		2637 \pm 3	U-Pb	diss.
126	Suite méta. d'allemand, suite A		2637-2651	Pb/Pb	diss.
308	Suite méta. d'Allemand		2639 \pm 3	U-Pb	diss.
Métamorphisme archéen					
150	Métam. à la mine Sigma	I2J[PO]	2698 \pm 22	Ar/Ar	chauf.
348	Mine Copper Rand	zone d'alt.	2694 \pm 4	U-Pb	diss.
148	Métam. à la mine Sigma	I2J[PO]	2693 \pm 11	Ar/Ar	chauf.
146	Rhyolite de Colombie	V1B	2684 \pm 7	U-Pb	diss.
298	Lac des Quinze	M1(I1D)	2673 \pm 4	Pb/Pb	diss.
149	Métam. à la mine Sigma	I2J[PO]	2671 \pm 17	Ar/Ar	chauf.
282	Lac Opasatica	M1(I1D)	2660 \pm 6	U-Pb	diss.
323	Red Cedar Lake	I2G	2647 \pm 12	U-Pb	diss.
324	Red Cedar Lake	pegmatite	2642 \pm 2	U-Pb	diss.
308	Suite méta. d'Allemand	pegmatite	2639 \pm 3	U-Pb	diss.
309	Parautochtone Grenville	M1(I1D)	2639	U-Pb	diss.
304	Lac Laperrière	I2H	2633	Pb/Pb	diss.
304	Lac Laperrière	I2H	2625 \pm 6	U-Pb	diss.
313	Ingall Lake	I1C	2615 \pm 7	Ar/Ar	laser
329	Terrain du lac Témiscamingue	pegmatite	2603 \pm 5	U-Pb	diss.
286	Lacorne	M16	2589 \pm 10	Ar/Ar	chauf.
306	Tabaret	I1D	2465	Pb/Pb	diss.

Tableau IV: Comparaison des résultats isotopiques de méthodes différentes sur trois gisements aurifères.

Intrusion	Mine Camflo	Mine Sigma	Mine Dome	
	2677-2683 2685	3335 2694	2690 2673	Ar-Ar U-Pb U-Pb
métamorphisme		2684 2671-2698		U-Pb Ar-Ar
minéralisation	2600-2633 2621	2602 2599 2431-2533	2633-2670	Ar-Ar U-Pb U-Pb Ar-Ar
refroidissement	2460-2555			Ar-Ar

Numéros:

160 à 170

**143, 145
147 à 153**

155, 156, 176

112, 113, 188

RÉFÉRENCES

- Anglin, C. D.** 1990 **Bell, K., Anglin, C.D., et Franklin, J.M.** 1989
- Sm/Nd isotopic analyses of scheelite and tourmaline from Val d'Or gold deposits
dans Greenstone Gold and Crustal Evolution, Nuna conference volume, édité par
F. Robert, P. A. Sheaham et S. B. Green, GAC
- Vol. p. 129-131
- Geology**
- Vol. 17 p. 500-504
- Anglin, C. D.** 1990 **Bourne, J. H. et L'Heureux, M.** 1991
- Preliminary Sm-Nd isotopic analyses of scheelite from Val d'Or gold deposits,
Québec
- Current Research, part C, Geological Survey of Canada
- Vol. paper 90-1C p. 255-259
- Precambrian Research**
- Vol. 52 p. 37-51
- Barrie, C. T.** 1990 **Bowme, R. J. et Heaman, L. M.** 1991
- U-Pb garnet and titanite age for the Bristol Township lamprophyre suite, western
Abitibi subprovince, Canada
- Can. J. Earth Sci.
- Vol. 27 p. 1451-1456
- Can. J. Earth Sci.
- Vol. 28 p. 1873-1878
- Barrie, C. T. et Davis, D. W.** 1990 **Brévart, O., Dupré, B. et Allègre, C. J.** 1986
- Timing of Magmatism and Deformation in the Kamiskotia-Kidd Creek Area,
western Abitibi subprovince, Canada
- Precambrian research
- Vol. 46 p. 217-240
- Earth and Planetary Science Letters
- Vol. 77 p. 293-302
- Barrie, C. T. et Krogh, T. E.** 1994 **Brooks, C.** 1980
- U-Pb zircon geochronology of magmatism, deformation and mineralization at the
Selbaie Cu-Zn-Ag-Au mine, Harricana-Turgeon area, Abitibi subprovince,
Canada,
- Programme et résumés, séminaire d'information 1994, Ministère des Ressources
naturelles du Québec
- Vol. DV 94-09 p. sous-presse
- Can. J. Earth Sci.
- Vol. 17 p. 776-783
- Buchan, K. L., Mortensen, J. K. et Card, K. D.** 1991
- Nd- and Sr-isotope systematics for the Kamiskotia-Montcalm area: implications for
the formation of late Archean crust in the western Abitibi Subprovince, Canada
- Can. J. Earth Sci.
- Vol. 28 p. 58-76
- GAC/MAC/SEG, congrès annuel, programme et résumés
- Vol. 16 p. A16
- Basu, Asish R., Goodwin, Alan M. et Tateumoto, Mitsunobu** 1984 **Buchan, K. L., Mortensen, J. K. et Card, K. D.** 1993
- Sm-Nd study of Archean alkalic rocks from the Superior Province of the Canadian
Shield
- Earth and Planetary Science Letters
- Vol. 70 p. 40-46
- Northeast-trending Early Proterozoic dykes of southern Superior Province:
multiple episodes of emplacement recognized from integrated paleomagnetism
and U-Pb geochronology
- Can. J. Earth Sci.
- Vol. 30 p. 1286-1296
- Bédard, L.P. et Chown, E.H.** 1992 **Bugnon, M. F. et Brown, L.** 1979
- The Dolodau Dykes, Canada: an example of an Archean carbonatite
- Mineralogy and Petrology
- Are ancient lead deposits chronometers of the early history of the earth?
- Carnegie Inst. Ann. Rept. Director
- Vol. 46 p. 109-121
- Vol. 1978-1979 p. 346-352

Carignan, J. et Gariépy, C.	1993	Corfu, F.	1990
Pb Isotope geochemistry of the Sillid and Launay gold deposits: Implications for the source of Archean Au in the Abitibi Subprovince		The geochronological framework for the evolution of the Southern Abitibi subprovince	
Economic Geology		dans Greenstone Gold and Crustal Evolution, Nuna conference volume, édité par F. Robert, P. A. Sheaham et S. B. Green, GAC	
Vol. 88 p. 1722-1730		Vol. p. 146	
Carignan, J., Machado, N. et Gariépy, C.	1992	Corfu, F.	1991
U-Pb et Pb-Pb geochronology of the Baby-Belleterre greenstone belt and associated Pb-Cu-Ni Deposits, Pontiac subprovince		Evolution of the Southern Abitibi Greenstone Belt: A summary of U-Pb and Lu-Hf isotopic investigations	
GAC/MAC, congrès annuel, programme et résumés		GAC/MAC/SEG, congrès annuel, programme et résumés	
Vol. 17 p. A15		Vol. 16 p. A25	
Carignan, J., Machado N. et Gariépy, C.	1993	Corfu, F.	1993
Pb Isotope composition of Ni-Cu-Pb ore deposits in an Archean Greenstone Belt: Evidence for Proterozoic Remobilisation in the Pontiac Subprovince of Canada		The evolution of the Southern Abitibi Greenstone Belt in Light of Precise U-Pb Geochronology	
Economic Geology		Economic Geology	
Vol. 88 p. 709-715		Vol. 88 p. 1323-1340	
Cattell, A., Krogh, T.E. et Arndt, N. T.	1984	Corfu, F. et Andrews, A. J.	1986
Conflicting Sm-Nd whole rock and U-Pb zircon ages for Archean lavas from Newton Township, Abitibi Belt, Ontario		A U-Pb age for mineralized Nipissing diabase, Gowganda, Ontario	
Earth and Planetary Science Letters		Can. J. Earth Sci.	
Vol. 70 p. 280-290		Vol. 23 p. 107-109	
Childe, F., Dolg, R. et Gariépy, C.	1993	Corfu, F. et Noble, S.	1992
Monazite as a metamorphic chronometer, south of the Grenville Front, western Quebec		Genesis of the Southern Abitibi greenstone belt, Superior Province, Canada: Evidence from zircon Hf isotope analyses using a single filament technique	
Can. J. Earth Sci.		Geochimica et Cosmochimica Acta	
Vol. 30 p. 1056-1065		Vol. 56 p. 2081-2097	
Chown, E.H., Daigneault, R., Mueller, W. et Mortensen, J.K.	1992	Corfu, F., Jackson, S. L. et Sutcliffe, R. H.	1991
Tectonic Evolution of the Northern Volcanic Zone, Abitibi Belt, Quebec		U-Pb ages and tectonic significance of late Archean alkalic magmatism and nonmarine sedimentation: Timiskaming Group, southern Abitibi belt, Ontario	
Can. J. Earth Sci.		Can. J. Earth Sci.	
Vol. 29 p. 221-2225		Vol. 28 p. 489-503	
Claoué-Long, J. C. , King, R. W. et Kerrich, R.	1990	Corfu, F. , Krogh, T. E. , Kwok, Y. Y. et Jensen, L. S.	1989
Archean hydrothermal zircon in the Abitibi greenstone belt: constraints on the timing of gold mineralization		U-Pb zircon geochronology in the southwestern Abitibi greenstone belt, Superior Province	
Earth and Planetary Science Letters		Can. J. Earth Sci.	
Vol. 98 p. 109-128		Vol. 26 p. 1747-1763	
Corfu, F.	1987	Dallmeyer, R.D., Maybin, A.H. et Durocher, M.E.	1975
Inverse age stratification in the Archean crust of the Superior province: evidence for infra- and subcrustal accretion from high resolution U-Pb zircon and monazite ages		Timing of Kenoran Metamorphism in the Eastern Abitibi Greenstone Belt, Quebec: Evidence from $^{40}\text{Ar}/^{39}\text{Ar}$ of hornblende and biotite from post-kinematic plutons	
Precambrian research		Can. J. Earth Sci.	
Vol. 36 p. 259-275		Vol. 12 p. 1864-1873	

Davis, D. W.		1990	Dupré, B. et Arndt, N.T.	1990
U-Pb dating of detrital zircon in sediments in the Pontiac and Abitibi subprovinces - preliminary results			Pb isotopic compositions of Archean komatiites and sulfides	
LITHOPROBE, projet Abitibi-Grenville, rapport de l'atelier III, Montréal			Chemical Geology	
Vol. p. 33-35		Vol. 85	p. 35-56	
Davis, D. W.		1992	Feng, R. et Kerrich, R.	1990
Age Constraints on Deposition and Provenance of Archean Sediments in the Southern Abitibi and Pontiac Subprovinces from U-Pb analyses of detrital zircons			The crustal structure of the southwestern Abitibi greenstone belt, subduction, late S-type granites, and implications for gold mineralization	
LITHOPROBE, projet Abitibi-Grenville, rapport d'atelier, Montréal, 1991			LITHOPROBE, projet Abitibi-Grenville, rapport de l'atelier III, Montréal	
Vol. 25 p. 147-150		Vol.	p. 37-40	
Davis, D. W. et Corlu, F.		1990	Feng, R. et Kerrich, R.	1991
Evolution of the Superior province: constraints and inferences based on U-Pb geochronology			A high grade tectonic window in the Abitibi Southern volcanic zone: An archean subduction complex	
dans Greenstone Gold and Crustal Evolution, Nuna conference volume, édité par F. Robert, P.A. Sheaham et S.B. Green, GAC			GAC/MAC, congrès annuel, programme et résumés	
Vol. p. 151-152		Vol. 16	p. A36	
Davis, W. J., Machado, N. et Garépy, C.		1993b	Feng, R. et Kerrich, R.	1991
U-Pb Geochronology of Plutonic Rocks along LITHOPROBE Line 28, Northern Abitibi Subprovince			-2845 Ma S-type collisional granites: their influence on gold mineralization in the Abitibi Southern volcanic zone	
1992 Abitibi-Grenville-Lithoprobe workshop			GAC/MAC, congrès annuel, programme et résumés	
Vol. 33 p. 145-146		Vol. 16	p. A36	
Davis, W. J., Machado, N., Garépy, C., Sawyer, E., Benn, K., Lacroix, S.		1992	Feng, R. et Kerrich, R.	1991
U-Pb Geochronology of Opatica Belt and Northern Abitibi Plutonic Rocks: Initial Results			Single zircon age constraints on the tectonic juxtaposition of the Archean Abitibi greenstone belt and Pontiac Subprovince	
LITHOPROBE, projet Abitibi-Grenville, rapport d'atelier, Montréal			Geochimica et Cosmochimica Acta	
Vol. 33 p. 147-149		Vol. 55	p. 3437-3441	
Davis, W. J., Sawyer, E., Machado, N., Garépy, C. et Benn, K.		1993a	Feng, R. et Kerrich, R., McBride, S. et Farrar, E.	1992
U-Pb Geochronology of Plutonism and Metamorphism in the Opatica Belt: Initial Results			⁴⁰ Ar/ ³⁹ Ar age constraints on the thermal history of the Archean Abitibi greenstone belt and the Pontiac Subprovince: implications for terrane collision, differential uplift, and overprinting of gold deposits	
1992 Abitibi-Grenville-Lithoprobe workshop			Can. J. Earth Sci.	
Vol. 33 p. 147-149		Vol. 29	p. 1389-1411	
Dupré, B., Chauvel, C. et Arndt, N.T.		1984	Franklin, J.M., Roedde, S.M., Loveridge, W.D. et Sangster, D.F.	1983
Pb and Nd isotopic study of two Archean Komatiitic flow from Alexo, Ontario			Lead Isotope studies in Superior and Southern Provinces	
Geochimica et Cosmochimica Acta			Geological Survey of Canada	
Vol. 48 p. 1965-1972		Vol. bulletin 351	p. 1-60	
Dupré, B. et Arndt, N.T.		1990	Frarey, M. J. et Krogh, T.E.	1986
Pb isotopic compositions of Archean komatiites and sulfides			U-Pb zircon ages of late internal plutons of the Abitibi and eastern Wawa subprovinces, Ontario and Quebec	
Chemical Geology			Current Research, part A, Geological Survey of Canada	
Vol. 85 p. 35-56		Vol. paper 86-1a	p. 43-48	

Friedman, R. et Martignole, J.	1993	Hunt, P. A. et Roddick, J. C.	1993
Age constraints on Mesoproterozoic sedimentation, igneous activity and metamorphism along the western Quebec Grenville transect		A compilation of K-Ar and $^{40}\text{Ar}/^{39}\text{Ar}$ ages: Report 23	
LITHOPROBE, projet Abitibi-Grenville, rapport d'atelier, Montréal		dans Radiogenic age and isotopic studies: report 7. Geological Survey of Canada	
Vol. 33 p. 151-153		Vol. paper 93-2 p. 144-145	
Gariépy, C., Allègre, C. J. et Lajoie, J.	1984	Jackson, S. L. et Fyon, J. A.	1991
U-Pb systematics in single zircons from the Pontiac sediments, Abitibi greenstone belt		The western Abitibi Subprovince in Ontario	
Can. J. Earth Sci.		dans Geology of Ontario édité par: Thurston, P.C., Williams, H.R., Sutcliffe, R.H. et Stott, G.M.	
Vol. 21 p. 1296-1304		Vol. Spécial 4, part 1 p. 405-482	
Gariépy, C. et Allègre, C.J.	1985	Jemieilta, R. A., Davis, D. W. et Krogh, T. E.	1990
The lead isotope geochemistry and geochronology of late-kinematic intrusives from the Abitibi greenstone belt, and the implication for late Archean crustal evolution.		U-Pb evidence for Abitibi gold mineralization postdating greenstone magmatism and metamorphism	
Geochimica et Cosmochimica Acta		Nature	
Vol. 49 p. 2371-2383		Vol. 346, No. 6287 p. 831-834	
Girard, J. et Moorhead, J.	1993	Jemieilta, R. A., Davis, D. W. et Krogh, T. E.	1990a
Potentiel minéral des équivalents métamorphisés des ceintures de roches vertes de l'Abitibi dans la Province de Grenville, à l'est de Senneterre		U-Pb evidence for Abitibi gold mineralization post dating greenstone magmatism and metamorphism	
Ministère de l'Énergie et des Ressources du Québec		Nature	
Vol. DV 93-03 p. 37-42		Vol. 346, No.6287 p. 831-834	
Guha, J. et Thorpe, R.	1980	Jemieilta, R. A., Wong, L., Davis, D. W. et Krogh, T. E.	1990
A Rb-Sr study of dykes associated with the Chibougamau Pluton, Québec		The greenstone-gold relationship in the Southern Superior province: contraints from U-Pb dating of hydrothermal minerals	
Current Search, Geological Survey of Canada		dans Greenstone Gold and Crustal Evolution, Nuna conference volume, édité par F. Robert, P. A. Sheaham et S. B. Green, GAC	
Vol. paper 80-1c p. 191-193		Vol. p. 181	
Hanes, J. A. , Archibald, D. A., Hedgeon, C. J. et Robert, F.	1989	Jensen, L. S.	
Preliminary $^{40}\text{Ar}/^{39}\text{Ar}$ geochronology and timing of archean gold mineralization at the Sigma Mine, Val d'Or, Quebec		Stratigraphy and petrogenesis of Archean metavolcanic sequences, southwestern Abitibi Subprovince, Ontario	
Current Research, part C, Geological survey of Canada		Geological Association of Canada	
Vol. Paper 89-1C p. 135-142		Vol. spécial 28 p. 65-87	
Hanes, J. A. , Archibald, D. A., Hedgeon, C. J. et Robert, F.	1992	Joly, M.	1991
Dating of Archean Auriferous Quartz Vein Deposits in the Abitibi Greenstone Belt, Canada: $^{40}\text{Ar}/^{39}\text{Ar}$ Evidence for a 70- to 100-m.y.-Time Gap between Plutonism-Metamorphism and Mineralization		Application des méthodes de datation uranium-plomb (U-Pb) sur zircon, rubidium-strontium et samarium-néodyme (Sm-Nd) aux gneiss paraautochtones de la province de Grenville	
Economic Geology		Thèse de maîtrise, Université de Montréal, Montréal	
Vol. 87 p. 1849-1861		Vol. p.	
Hanes, J. A. et York, D.	1979	Jones, L. M., Walker, R. L. et Allard, G. O.	1974
A detailed $^{40}\text{Ar}/^{39}\text{Ar}$ age study of an Abitibi dike from the Canadian Superior Province		The Rubidium-Strontium whole-Rock age of Major Units of Chibougamau Greenstone Belt, Quebec	
Can. J. Earth Sci.		Can. J. Earth Sci.	
Vol. 16 p. 1060-1070		Vol. 11 p. 1550-1561	

Kerrick, R.		1986	Krogh, T.E., Corfu, F., Davis, D.W., Dunning, G.R., Heaman, L.M., Kamo, S.L., Machado, N., Greenough, J.D. et Nakamura, E.	1987
Fluids transport in lineaments.			Precise U-Pb isotopic Ages of Diabase Dykes and Mafic to Ultramafic Rocks Using Trace Amounts of Baddeleyite and Zircon	
Phil. Trans. Royal Soc. London			dans Mafic dyke swarms, édité par: Halls, H.C. et Fahrig, W.F., Geological Association of Canada	
Vol. A137	p. 219-251		Vol. Vol. spécial 34 p. 147-152	
Kerrick, R. et Feng, R.		1992	Krogh, T. E. et Davis, G. L.	1971
Archean geodynamics and the Abitibi-Pontiac collision: Implications for advection of fluids at transpressive collisional boundaries and the origins of giant quartz vein systems			Zircon U-Pb Ages of Archean Metavolcanic Rocks in the Canadian Shield	
Earth-Sciences Reviews			Carnegie Institution Yearbook	
Vol. 32	p. 33-60		Vol. 70 p. 241-242	
Kerrick, R. et King, R.		1993	Layher, P.W., McMaster, N.D. et York, D.	1987
Hydrothermal zircon and baddeleyite in Val-d'Or Archean mesothermal gold deposits: characteristics, compositions, and fluid-inclusion properties, with implications for timing of primary gold mineralization			The dating of Ontario's gold deposits.	
Can. J. Earth Sci.			dans Geoscience Research Grant Program, Summary of Research; éd. par V.G. Milne. Ontario Geological Survey.	
Vol. 30	p. 2334-2351		Vol. Misc. Paper 136 p. 27-34	
Kerrick, R., Fryer, B.J., King R.W., Willmore, L.M. et Van Hee, E.		1987	Massey, R., McCulloch, M. T., Campbell, I. H. et Coad, P. R.	1986
Crustal outgassing and LILE enrichment in major lithosphere structures, Archean Abitibi greenstone belt: evidence on the source reservoir from strontium and carbon isotope tracers.			Sm-Nd and Rb-Sr dating of an Archean massive sulfide deposit: Kidd Creek, Ontario	
Contrib. Miner. Petrol.			Geology	
Vol. 97	p. 156-168		Vol. 14 p. 585-588	
King, R. et Kerrich, R.		1991	Machado, N., David, J., Carignan, J., Zhang, Q. et Gariépy, C.	1991a
Hydrothermal zircons in Val d'Or region gold deposits: evidence for an early (~2680 Ma) rather than late (2630-2580 Ma) primary mineralization event			Géochronologie U-Pb du territoire québécois: Fosses de l'Ungava et du Labrador, Province de Grenville et sous-provinces de Pontiac et de l'Abitibi	
GAC/MAC, congrès annuel, programme et résumés			Rapport interne soumis au Ministère de l'Énergie et des Ressources du Québec, Service géologique du Nord-Ouest	
Vol. 16	p. A66		Vol. 2e rapport intérimaire p. 48	
King, R. W., Kerrich, R. et Cloué-Long, J. C.		1990	Machado, N., David, J. et Gariépy, C.	1992
Archean hydrothermal zircon in the Abitibi Greenstone Belt: Constraints on the timing of gold mineralisation			Géochronologie U-Pb du territoire québécois. 1ère partie: Les sous-provinces de l'Abitibi et du Pontiac	
GAC/MAC, congrès annuel, programme et résumés			Rapport interne soumis au Ministère de l'Énergie et des Ressources du Québec, Service géologique du Nord-Ouest	
Vol. 15	p. A70		Vol. 3e rapport intérimaire p. 21	
Krogh, T. E.		1982	Machado, N., Gariépy, C., Philippe, S. et David, J.	1991b
Improved accuracy of U-Pb zircon ages by the creation of more concordant systems using an air abrasion technique			Géochronologie U-Pb du territoire québécois: Fosses du Labrador et de l'Ungava et Sous-province de Pontiac	
Geochimica et Cosmochimica Acta			Ministère de l'Énergie et des Ressources du Québec	
Vol. 46	p. 637-649		Vol. MB 91-07 p. 30-49	
Krogh, T. E.		1989	Marmont, S. et Corfu, F.	1989
Terrane identification in the Grenville Province from detrital and metamorphic zircon ages			Timing of Gold Introduction in the Late Archean tectonic Framework of the Canadian Shield: Evidence from U-Pb Zircon Geochronology of the Abitibi Subprovince	
Lithoprobe, projet Abitibi-Grenville, transect report and Updated proposal, Montréal, Québec			dans The Geology of gold deposits: the perspective in 1988. Édité par R.R. Keays, W.H.R. Ramsay, D.I. Groves. Economic Geology	
Vol.	p. 63-65		Vol. monograph 6 p. 101-111	

Martignole, J. et Friedman, R.	1993	Mortensen, J.K.	1993c
Age constraints on terrane assembly along the Montréal-Val-d'Or transect, Grenville Province (Québec)		U-Pb geochronology of the Lapparent Massif, northeastern Abitibi belt: basement or synvolcanic pluton?	
LITHOPROBE, projet Abitibi-Grenville, rapport d'atelier, Montréal		Can. J. Earth Sci.	
Vol. 33 p. 167-170		Vol. 30 p. 42-47	
Masiwec, A., McMaster, D., et York, D.	1986	Mortensen, J. K. et Card, K. D.	1993
The dating of Ontario's gold deposits		U-Pb age constraints for the magmatic and tectonic evolution of the Pontiac Subprovince, Quebec	
dans Geoscience Research Grant Program, Summary of Research 1985-1986. Édité par V. G. Milne. Ontario Geological Survey.		Can. J. Earth Sci.	
Vol. Mis. paper 135 p. 107-114		Vol. 30 p. 1970-1980	
Morasse, S.	1988	Mortensen, J. K., Thériault, R. J. et Card, K. C.	1988
Geologic setting and evolution of the Lac Shortt Gold deposit, Waswanipi, Québec		U-Pb and Rb-Sr age contrains for plutonism and metamorphism in the Pontiac Subprovince and adjacent Grenville Province	
Thèse de maîtrise, Queen's University		GAC/MAC, congrès annuel, programme et résumés	
Vol. p. 139 p.		Vol. 13 p. A87	
Morasse, S., Waateney, H. A., Cormier, M., Helmstaedt, H. et Mason, R.	1993	Noble, S. R. et Lightfoot, P. C.	1992
La mine d'or Kiena: minéralisation magmatique hydrothermale kénoréenne précoce dans la ceinture minérale de Val-d'Or, sud-est de l'Abitibi		U-Pb baddeleyite ages of the Kems and Triangle Mountain Intrusions, Nipissing Diabase, Ontario	
Ministère de l'Énergie et des Ressources du Québec		Can. J. Earth Sci.	
Vol. DV 93-03 p. 67-71		Vol. 29 p. 1424-1429	
Mortensen, J. K.	1987	Nunes, P. D. et Jensen, L. S.	1980
Preliminary U-Pb zircon ages for volcanic and plutonic rocks of the Noranda-Lac Abitibi area, Abitibi Subprovince, Quebec		Geochronology of the Abitibi Metavolcanic Belt, Kirkland Lake area- Progress Report	
Current research, part A, Geological Survey of Canada		Ontario Geological Survey	
Vol. paper 87-1a p. 581-590		Vol. Mis. paper 92 p. 40-45	
Mortensen, J. K.	1987	Nunes, P. D. et Pyke, D. R.	1980
U-Pb chronostratigraphy of the Abitibi Greenstone Belt		Geochronology of the Abitibi Metavolcanic Belt, Timmins-Matachewan Area-Progress Report	
GAC/MAC, congrès annuel, programme et résumés		Ontario Geological Survey	
Vol. 12 p. 75		Vol. Mis. paper 92 p. 34-39	
Mortensen, J.K.	1993a	Nunes, P. D. et Pyke, D. R.	1981
U-Pb geochronology of the eastern Abitibi Subprovince. Part 1: Chibougamau-Matagami-Joutel region		Time-stratigraphic correlation of the Kidd Creek orebody with volcanic rocks south of Timmins, Ontario, as inferred from zircon U-Pb ages	
Can. J. Earth Sci.		Economic Geology	
Vol. 30 p. 11-28		Vol. 76 p. 944-951	
Mortensen, J.K.	1993b	Parent, M., Machado, N. et Ciesielski, A.	1994
U-Pb geochronology of the eastern Abitibi Subprovince. Part 2: Noranda - Kirkland Lake region		U-Pb metamorphic ages for the Grenvillian paraautochthonous belt, Temiscaming area, Quebec	
Can. J. Earth Sci.		GAC/MAC, congrès annuel, programme et résumés	
Vol. 30 p. 29-41		Vol. 19 p. A85	

Philippe, S., Gariépy, C., Doig, R. et Childe, F.	1990	Steiger, R. H. et Wasserburg, G. J.	1969
U-Pb geochronology of late Archean monazites, south of the Grenville Front, western Quebec		Comparative U-Th-Pb systematics in 2.7×10^8 yr plutons of different geologic histories	
LITHOPROBE, project Abitibi-Grenville, programme et résumés, Montréal		Geochimica et Cosmochimica Acta	
Vol. p.		Vol. 33	p. 1213-1232
Pilote, P., Couture, J.-F., Desrochers, J.-P., Machado, N. et Peitz, P	1993	Taner, M. F. et Trudel, P.	1989
Minéralisations aurifères multiphasées dans la région de Val-d'Or: l'exemple de la mine Norlantic		Bourlamaque batholith and its gold potential, Val d'Or, Quebec	
Ministère de l'Énergie et des Ressources du Québec		CIM Bulletin	
Vol. DV 93-03	p. 61-66	Vol. 82, No.922	p. 33-42
Schandl, E. S.	1991	Thorpe, R. I., Guha, J., Franklin, J. M. et Loveridge, W. D.	1984
The Geochronology of Hydrothermal Alteration Associated with the Au Mineralization at the Copper Rand, Chibougamau, Québec and The Paragenetic Sequence of Alteration with Mineralization at the Copper Rand and Portage Mine		Use of the Superior province lead isotope framework in interpreting mineralization stages in the Chibougamau District	
Rapport Inédit Westminier Canada Ltd		CIM Special volume, Chibougamau-Stratigraphy and Mineralization	
Vol. p. 65		Vol. 34	p. 496-516
Schandl, E. S., Davis, D. W. et Krogh, T. E.	1990	Tilton, G. R. et Bell, K.	1994
Are alteration halos of massive sulfide deposits syngenetic? Evidence from U-Pb dating of hydrothermal rutile at the Kidd volcanic centre, Abitibi subprovince, Canada		Sr-Nd-Pb isotope relationships in Late Archean carbonatites and alkaline complexes: Applications to the geochemical evolution of Archean mantle.	
Geology		Geochimica et Cosmochimica Acta	
Vol. 18	p. 505-508	Vol. 58	p. 3145-3154
Smith, P. E., Schandl, E. S. et York, D.	1993	Vervoort, J. D., White, W. M., Thorpe, R. I. et Franklin, J. M.	1993
Timing of metasomatic Alteration of the Archean Kidd Creek Massive Sulfide Deposit, Ontario, Using ^{40}Ar - ^{39}Ar Laser Dating of Single Crystals of Fuschite		Postmagmatic Thermal Activity in the Abitibi Greenstone Belt, Noranda and Matagami Districts: Evidence from Whole-Rock Pb Isotope Data.	
Economic Geology		Economic Geology	
Vol. 88	p. 1636-1642	Vol. 88	p. 1598-1614
Smith, P. E., York, D., Easton, R. M., Özdemir, Ö. et Layer, P. W.	1994	Vervoort, J. D. et White, W. M.	1991
A laser ^{40}Ar - ^{39}Ar study of minerals across the Grenville Front: Investigation of reproducible excess Ar patterns		Archean mantle Pb and Nb isotopic evolution: Evidence from footwall rocks to the Noranda and Matagami volcanogenic massive sulfide deposits, Abitibi greenstone belt, Québec	
Can. J. Earth Sci.		GAC/MAC, congrès annuel, programme et résumés	
Vol. 31	p. 808-817	Vol. 18	p. A128
Snelling, N.J.	1962	Walker, R.J., Shirey, S. B. et Stecher, O.	1988
Potassium-Argon dating of rocks north and south of the Grenville Front in the Val d'Or region, Québec		Comparative Re-Os, Sm-Nd and Rb-Sr isotope and trace element systematics for Archean komatiite flows from Munro Township, Abitibi Belt, Ontario	
Geological Survey of Canada		Earth and Planetary Science Letters	
Vol. bulletin 85	p. 2	Vol. 87	p. 1-12
Spooner, E.T.C.	1990	Watson, K. D.	1967
Archean intrusion-hosted, stockwork Au-Quartz vein mineralization, Laramie Mine, Val d'Or, Québec: Part II. Light stable isotope (H,O,C and S) characteristics and enriched calc-alkaline/shoshonitic Igneous geochemistry		Kimberlites of the eastern North America	
dans Greenstone Gold and Crustal Evolution, Nuna conference volume, édité par F. Robert, P. A. Sheaham et S. B. Green, GAC		dans Ultramafics and related rocks, édité par P. J. Wyllie, John Wiley and Sons Inc., New-York	
Vol. p. 205-210		Vol. p. 312-323	

- Wilkinson, L., Cruden, A. et Krogh, T. E.** 1993
Structure and timing of post-Timiskaming ductile deformation along Larder Lake-Cadillac deformation zone in the Kirkland Lake area
- Canadian Tectonic Group, résumés
- Vol. p.
- Wong, L., Davis, D. W., Krogh, T. E. et Robert, F.** 1991
U-Pb zircon and rutile chronology of Archean greenstone formation and gold mineralization in the Val d'Or region, Québec
- Earth and Planetary Science Letters
- Vol. 104 p. 325-336
- Wong, L., Hanes, J. A., Archibald, D. A., Hodgson, C. J., Robert, F.** 1989
An integrated U-Pb and Ar-Ar geochronological study of the Archean Sigma gold deposit, Val d'Or, Québec
- GAC/MAC, congrès annuel, programme et résumés
- Vol. 14 p. A45
- Wyman, D. A. et Kerrich, R.** 1987
Archean Lamprophyres I: Distribution and tectonic setting
- GAC/MAC, congrès annuel, programme et résumés
- Vol. 12 p. 102
- Zhang, Q., Machado, N., Ludden, J. et Moore, D.** 1993
Geotectonic constraints from U-Pb ages for the Blake River Group, the Kinojévis Group and the Normétal mine area, Abitibi, Québec
- GAC/MAC, congrès annuel, programme et résumés
- Vol. 18 p. A-114
- Zindler, A.** 1982
Nd and Sr isotopic studies of komatiites and related rocks
- dans Komatiites édité par N.T. Arndt et E.G. Nisbet. Georges Allen and Unwin.
- Vol. Monographie p. 399-420
- Zweng, P. L.** 1990
Geology and geochronology of the Archean gold deposit at Camilo, Malaric, Québec
- dans Greenstone Gold and Crustal Evolution, Nuna conference volume, édité par F. Robert, P. A. Sheaham et S. B. Green, GAC
- Vol. p. 228
- Zweng, P. L., Mortensen, J. K. et Dalrymple, G. B.** 1993
Thermochronology of the Camilo Gold Deposit, Malaric, Quebec: Implications for Magmatic Underplating and the Formation of Gold-Bearing Quartz Veins
- Economic Geologic
- Vol. 88 p. 1700-1721